

第七章 多元数量值函数积分学.....	1
7.1 多元数量值函数积分的概念与性质.....	1
7.2 二重积分的计算.....	4
7.3 三重积分的计算.....	14
7.4 数量值函数的曲线与曲面积分的计算.....	21
7.5 数量值函数积分应用举例.....	29

第七章 多元数量值函数积分学

本章将一元函数微分学，推广到多元函数上来。

7.1 多元数量值函数积分的概念与性质

7.1.1 引例 非均匀分布的几何形体的质量问题

例 1 平面薄板的质量

设有一平面薄片占有 xOy 面上的闭区域 D ，它在点 (x, y) 处的面密度为 $\mu(x, y)$ ，这里

$\mu(x, y) > 0$ 且在 D 上连续. 现在要计算该薄片的质量 M .

将区域 D 任意划分为 n 个小区间 $\Delta\sigma_1, \Delta\sigma_2, \dots, \Delta\sigma_n$. 同时这个小闭区域的面积也记作 $\Delta\sigma_i$ ，由于 $\mu(x, y)$ 连续，所以薄板在每个小区间上的质量可以看作是均匀分布的。在每个小区间 $\Delta\sigma_i$ 上任取一点 (ξ_i, η_i) ，则该小区间上的质量的近似值为 $\Delta m_i \approx \mu(\xi_i, \eta_i) \Delta\sigma_i$ ($i = 1, 2, \dots, n$)。

从而整个薄板的质量 m 近似值为

$$m \approx \sum_{i=1}^n \mu(\xi_i, \eta_i) \Delta\sigma_i$$

记 $d = \max_{1 \leq i \leq n} \{\Delta\sigma_i \text{ 的直径} \}$ 。所谓 $\Delta\sigma_i$ 的直径指的是 $\Delta\sigma_i$ 上任意两点间距离的最大值。当

$d \rightarrow 0$ 时。每个小 $\Delta\sigma_i$ 的面积将趋于零，并且小区间的数目无限增大，这样上述近似值就无限接近薄板的质量，因此可把上面和式的极限规定为该薄板的质量，即

$$M = \lim_{d \rightarrow 0} \sum_{i=1}^n \mu(\xi_i, \eta_i) \Delta\sigma_i.$$

类似地，使用同样的方法可以讨论其他几何形体上的物体的质量问题。它们都可以归结为上面形式的极限，这一类型的极限，在物理、力学、几何和工程技术中有广泛的应用。

7.1.2 多元数量值函数积分的概念

定义 设 Ω 是可度量（即可求长度、面积或体积）的有界闭几何形体， $f(M)$ 是定义在 Ω

上的数量值函数。将 Ω 任意划分为 n 个小几何形体 $\Delta\Omega_i$ ($i=1,2,\dots,n$)， $\Delta\Omega_i$ 同时表示其度

量。在 $\Delta\Omega_i$ 上任取一点 M_i ，作乘积 $f(M_i) \Delta\Omega_i$ ，并作和式 $\sum_{i=1}^n f(M_i) \Delta\Omega_i$ ，记

$d = \max_{1 \leq i \leq n} \{\Delta\Omega_i \text{ 的直径} \}$ ，如果不论对 Ω 怎样分划，也不论点 M_i 在 $\Delta\Omega_i$ 上怎样选取，只要

$d \rightarrow 0$ ，上述和式都趋于同一常数 I ，则称 $f(M)$ 在 Ω 上可积，并把 I 称为函数 $f(M)$ 在 Ω 的积分，记做 $\int_{\Omega} f(M) d\Omega$ ，即

$$\int_{\Omega} f(M) d\Omega = I = \lim_{d \rightarrow 0} \sum_{i=1}^n f(M_i) \Delta\Omega_i$$

其中 $f(M)$ 叫做被积函数， Ω 叫做积分区域， $f(M) d\Omega$ 叫做被积表达式， \int 为积分号，

$\sum_{i=1}^n f(M_i) \Delta\Omega_i$ 叫做积分和。

可积的必要条件 若函数 $f(M)$ 在几何形体 Ω 上可积，则 $f(M)$ 在 Ω 上闭有界。

可积的充分条件 若函数 $f(M)$ 在有界闭几何形体 Ω 上连续，则 $f(M)$ 在 Ω 上必可积。

7.1.3 多元数量值函数积分的性质

性质 1 当 $f(M) \equiv 1$ 时，它在 Ω 上的积分等于 Ω 的度量，即

$$\int_{\Omega} 1 d\Omega = \int_{\Omega} d\Omega = \Omega.$$

性质 2 线性性质 设 α 、 β 为常数，则

$$\int_{\Omega} [\alpha f(M) + \beta g(M)] d\Omega = \alpha \int_{\Omega} f(M) d\Omega + \beta \int_{\Omega} g(M) d\Omega.$$

性质 3 积分区域的可加性 若将 Ω 分为两部分 Ω_1 ， Ω_2 ，则

$$\int_{\Omega} f(M) d\Omega = \int_{\Omega_1} f(M) d\Omega + \int_{\Omega_2} f(M) d\Omega$$

性质 4 比较性质 如果在 Ω 上， $f(M) \leq g(M)$ ，则

$$\int_{\Omega} f(M) d\Omega \leq \int_{\Omega} g(M) d\Omega$$

由此显然有

$$|\int_{\Omega} f(M) d\Omega| \leq \int_{\Omega} |f(M)| d\Omega$$

性质 5 估值性质 设 M, m 分别是 $f(M)$ 在闭几何形体 Ω 上的最大值和最小值，则

$$m\Omega \leq \int_{\Omega} f(M) d\Omega \leq M\Omega$$

性质 6 积分中值定理 设函数 $f(M)$ 在闭几何形体 Ω 上连续, 则在 Ω 上至少存在一点 M_0 , 使得

$$\int_{\Omega} f(M) d\Omega = f(M_0) \Omega$$

7.1.4 多元数量值函数积分的分类

按几何形体 Ω 的类型, 多元数量值函数积分可以分为以下四种类型:

1. 二重积分

当几何形体 Ω 为 xOy 平面上的区域 D 时, 则 f 就是定义在 D 上的二元函数 $f(x, y)$, $\Delta\Omega_i$ 就是小区域的面积 $\Delta\sigma_i$, 这时称 $\int_{\Omega} f(M) d\Omega$ 为函数 $f(x, y)$ 在平面区域 D 上的二重积分, 记做 $\iint_D f(x, y) dx dy$, 即 $\iint_D f(x, y) d\sigma = \lim_{\lambda \rightarrow 0} \sum_{i=1}^n f(\xi_i, \eta_i) \Delta\sigma_i$ 。

例 2 试估计二重积分 $I = \iint_D \frac{1}{100 + \cos^2 x + \cos^2 y} d\sigma$ 的取值范围, 其中 $D = \{(x, y) | |x| + |y| \leq 10\}$ 。

解 由于被积函数连续, 由积分中值定理, 存在 $(\xi, \eta) \in D$, 使

$$I = \iint_D \frac{1}{100 + \cos^2 x + \cos^2 y} d\sigma = \frac{1}{100 + \cos^2 \xi + \cos^2 \eta} \cdot S(D)$$

这里 $S(D)$ 表示区域 D 的面积, 易知 $S(D)=200$ 。又

$$\frac{1}{102} \leq \frac{1}{100 + \cos^2 \xi + \cos^2 \eta} \leq \frac{1}{100}$$

故 $\frac{200}{102} \leq I \leq \frac{200}{100}$, 即 $\frac{100}{51} \leq I \leq 2$

2. 三重积分

当几何形体 Ω 为空间区域 V 时, 则 $f(\Omega)$ 是 V 上的三元函数 $f(x, y, z)$, $\Delta\Omega_i$ 就是小立体区域的体积 ΔV_i , 这时称 $\int_{\Omega} f(M) d\Omega$ 为函数 $f(x, y, z)$ 在空间区域 V 上的三重积分, 记作 $\iiint_{\Omega} f(x, y, z) dv$, 即

$$\iiint_{\Omega} f(x, y, z) dv = \lim_{\lambda \rightarrow 0} \sum_{i=1}^n f(\xi_i, \eta_i, \zeta_i) \Delta v_i \quad (1)$$

其中 dv 叫做体积微元。

3. 对弧长的曲线积分

当几何形体 Ω 为平面或空间曲线弧段 L 时, 则 $f(\Omega)$ 是定义在 L 上的二元或三元函数 $f(x, y)$ 或 $f(x, y, z)$, $\Delta\Omega_i$ 是小弧段的弧长 Δs_i , 这时称 $\int_{\Omega} f(M)d\Omega$ 为函数 $f(x, y)$ 或 $f(x, y, z)$ 在曲线 L 上对弧长的曲线积分, 或称第一型的曲线积分, 记作 $\int_L f(x, y)ds$ 或 $\int_{\Gamma} f(x, y, z)ds$, 即

$$\int_L f(x, y)ds = \lim_{\lambda \rightarrow 0} \sum_{i=1}^n f(\xi_i, \eta_i) \Delta s_i$$

或

$$\int_{\Gamma} f(x, y, z)ds = \lim_{\lambda \rightarrow 0} \sum_{i=1}^n f(\xi_i, \eta_i, \zeta_i) \Delta s_i$$

这里 ds 是弧长微元。

4. 对面积的曲面积分

当几何形体 Ω 为空间曲面块 S 时, 则 $f(\Omega)$ 是定义在 S 上的三元函数 $f(x, y, z)$, $\Delta\Omega_i$ 是小曲面块的面积 ΔS_i , 这时称 $\int_{\Omega} f(M)d\Omega$ 为函数 $f(x, y, z)$ 在曲面 S 上对面积的曲面积分, 或称第一型的曲面积分, 记作 $\iint_{\Sigma} f(x, y, z)dS$, 即

$$\iint_{\Sigma} f(x, y, z)dS = \lim_{\lambda \rightarrow 0} \sum_{i=1}^n f(\xi_i, \eta_i, \zeta_i) \Delta S_i,$$

这里 dS 为曲面的面积微元。

例 3 已知曲面块 S 上带静电, 电荷分布面密度 $\mu = \mu(x, y, z)$, 按照与求几何形体质量完全类似的方法, 可知 S 上静电总量为

$$q = \lim_{d \rightarrow 0} \sum_{i=1}^n \mu(\xi_i, \eta_i, \zeta_i) \Delta S_i$$

即

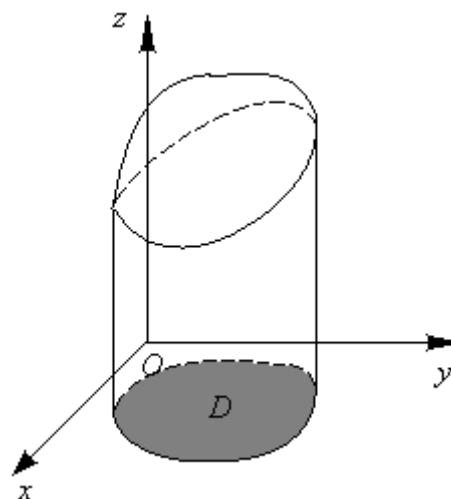
$$q = \iint_{\Sigma} \mu(x, y, z)dS$$

作业 2 (1), 5, 6, 8, 10

7. 2 二重积分的计算

7. 2. 1 二重积分的几何意义

设有一立体, 它的底是 xOy 面上的闭区域 D , 它的侧面是以 D 的边界曲线为准线而母线平行于 z 轴的柱面, 它的顶是曲面 $z = f(x, y)$, 这里 $f(x, y) \geq 0$ 且在 D 上连续 (图 7-1). 这种立体叫做曲顶柱体. 现在我们来讨论如何定义并计算上述曲顶柱体的体积 V .



在二重积分定义中的 $f(\xi_i, \eta_i) \Delta\sigma_i$ 是以 $\Delta\sigma_i$ 为底以 $f(\xi_i, \eta_i)$ 为高的平顶柱体的体积, 当

$\Delta\sigma_i$ 的

图 7-1

直径很小时, $f(x, y)$ 在 $\Delta\sigma_i$ 上的变化很小, 因此可将以 $\Delta\sigma_i$ 为底以 $z=f(x, y)$ 为顶的小曲顶柱

体近似地看作平顶柱体, 其体积的近似值可取为 $f(\xi_i, \eta_i) \Delta\sigma_i$, 从而积分和 $\sum_{i=1}^n f(\xi_i, \eta_i) \Delta\sigma_i$

就是整个曲顶柱体的体积的近似值. 显然 $d \rightarrow 0$ 时, 积分和以曲顶柱体的体积为极限, 即二

重积分等于曲顶柱体的体积. 这就是二重积分的几何意义. 如果 $f(x) \leq 0$, 则曲顶柱体就

在 xOy 平面的下方, 二重积分的值是负的. 因而曲顶柱体的体积就是二重积分的负值. 如

果 $f(x, y)$ 在 D 的某区域上为正, 在某些区域上为负, 则二重积分 $\iint_D f(x, y) d\sigma$ 就等于这些区

域上曲顶柱体体积的代数和.

7. 2. 2 直角坐标系下二重积分的计算

当积分存在时, 我们以平行线划分区域, 这时除边界的小区域外, 区域都是矩形, 其面积元素等于 $\Delta\sigma = \Delta x \cdot \Delta y$, 因而在直角坐标系下常把微元 $d\sigma = dxdy$, 而把二重积分记为

$$\iint_D f(x, y) dxdy.$$

下面用几何观点来讨论二重积分 $\iint_D f(x, y) d\sigma$ 的计算问题. 在讨论中我们假定

$$f(x, y) \geq 0.$$

设积分区域 D 可以用不等式

$$\varphi_1(x) \leq y \leq \varphi_2(x), \quad a \leq x \leq b$$

来表示 (图 7-2), 其中函数 $\varphi_1(x)$ 、 $\varphi_2(x)$ 在区间 $[a, b]$ 上连续.

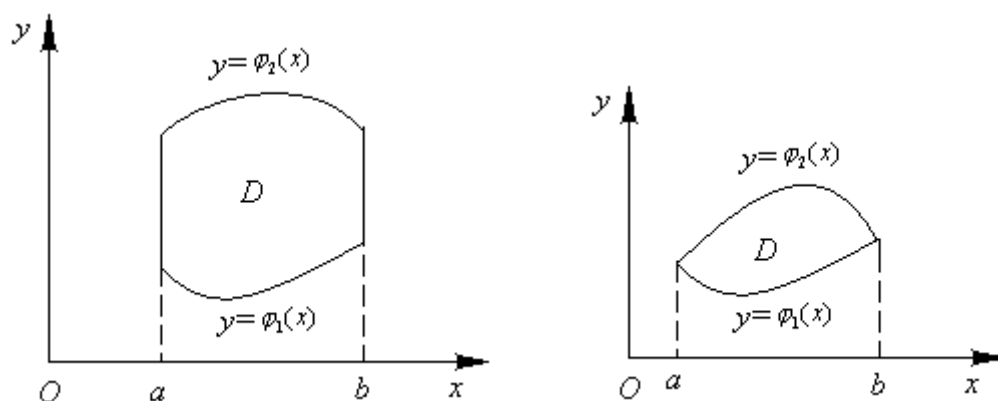


图 7-2

该类型的区域称为 X-型区域。

按照二重积分的几何意义, 二重积分 $\iint_D f(x, y) d\sigma$ 的值等于以 D 为底, 以曲面

$z = f(x, y)$ 为顶的曲顶柱体的体积 (图 7-3). 下面我们应用第三章中计算 “平行截面面积已知的立体的体积” 的方法, 来计算这个曲顶柱体的体积.

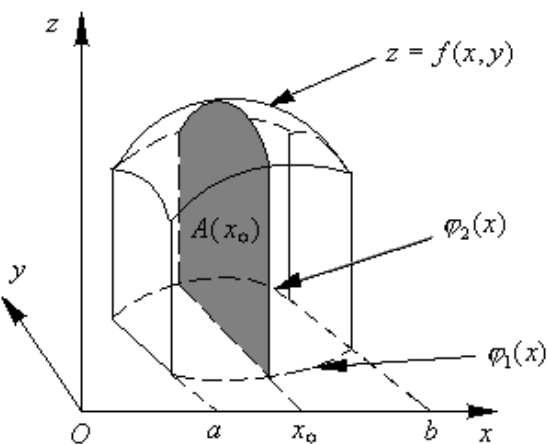
先计算截面面积. 为此, 在区间 $[a, b]$ 上任取一点 x_0 , 作平行于 yOz 面的平面 $x = x_0$. 这平面截曲顶柱体所得的截面是一个以区间

$[\varphi_1(x_0), \varphi_2(x_0)]$ 为底、曲线 $z = f(x_0, y)$ 为曲边的曲边梯形 (图 7-3 中阴影部分), 所以这截面的面积为

$$A(x_0) = \int_{\varphi_1(x_0)}^{\varphi_2(x_0)} f(x_0, y) dy.$$

一般地, 过区间 $[a, b]$ 上任一点 x 且平行于 yOz 面的平面截面曲顶柱体所得截面的面积为

$$A(x) = \int_{\varphi_1(x)}^{\varphi_2(x)} f(x, y) dy.$$



于是, 应用计算平行截面面积为已知的立体体积的方法, 得曲顶柱体体积为
图 7-3

$$V = \int_a^b A(x) dx = \int_a^b \left[\int_{\varphi_1(x)}^{\varphi_2(x)} f(x, y) dy \right] dx.$$

这个体积也就是所求二重积分的值, 从而有等式

$$\iint_D f(x, y) d\sigma = \int_a^b \left[\int_{\varphi_1(x)}^{\varphi_2(x)} f(x, y) dy \right] dx. \quad (1)$$

上式右端的积分叫做先对 y 、后对 x 的二次积分. 就是说, 先把 x 看作常数, 把 $f(x, y)$ 只看作 y 的函数, 并对 y 计算从 $\varphi_1(x)$ 到 $\varphi_2(x)$ 的定积分; 然后把算得的结果 (是 x 的函数) 在对 x 计算在区间 $[a, b]$ 上定积分. 这个先对 y 再对 x 的二次积分也常记作

$$\int_a^b dx \int_{\varphi_1(x)}^{\varphi_2(x)} f(x, y) dy$$

因此 (1) 式也写成

$$\iint_D f(x, y) d\sigma = \int_a^b dx \int_{\varphi_1(x)}^{\varphi_2(x)} f(x, y) dy, \quad (1')$$

这就是把二重积分化为先对 x 再对 y 的二次积分的公式.

公式 (1) 对 $f(x, y)$ 的符号为任何都成立.

类似地, 如果积分区域 D 可以用不等式

$$\phi_1(y) \leq x \leq \phi_2(y), \quad c \leq y \leq d$$

来表示 (图 7-4), 其中函数 $\phi_1(y)$ 、 $\phi_2(y)$ 在区间 $[c, d]$ 上连续, 称为 Y-型区域. 那么就

有

$$\iint_D f(x, y) d\sigma = \int_c^d \left[\int_{\phi_1(y)}^{\phi_2(y)} f(x, y) dx \right] dy, \quad (2)$$

上式右端的积分叫做先对 x 、后对 y 的二次积分，这个积分也常记作

$$\int_c^d dy \int_{\phi_1(y)}^{\phi_2(y)} f(x, y) dx,$$

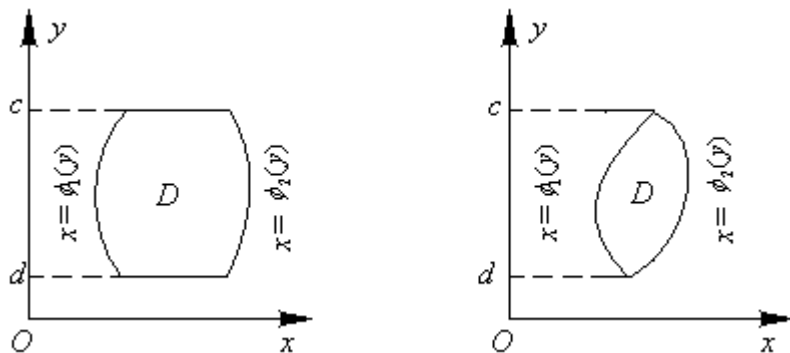


图 7-4

$$\iint_D f(x, y) d\sigma = \int_c^d dy \int_{\phi_1(y)}^{\phi_2(y)} f(x, y) dx, \quad (2')$$

这就是把二重积分化为先对 x 、后对 y 的二次积分的公式。

使用公式 (1)， D 必须是 X—型区域，使用公式 (2) D 必须是 Y—型区域。当积分区域不是 X—型区域也不是 Y—型区域时，我们可以通过划分，将其转化为几个 X—型区域或 Y—型区域，然后利用积分区间的可加性，将在它们上的积分相加即得原积分。比如如图 7-5 所示的区域

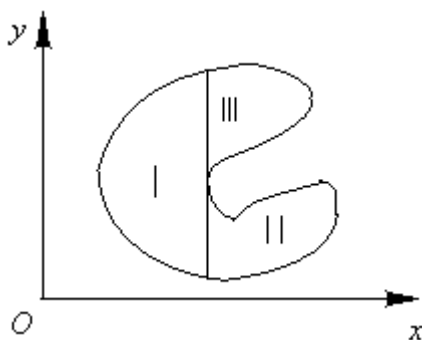


图 7-5

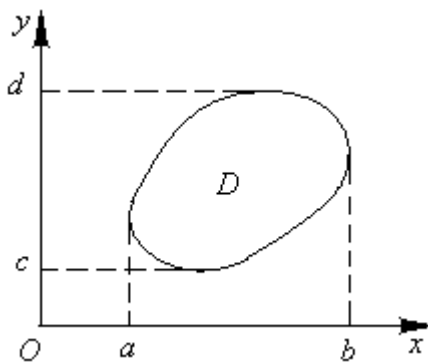


图 7-6

如果积分区域即是 X—型的，可用不等式 $\phi_1(x) \leq y \leq \phi_2(x), a \leq x \leq b$ 表示，又是 Y—

型的，可用不等式 $\phi_1(y) \leq x \leq \phi_2(y), c \leq y \leq d$ 表示（图 7-6），则由公式 (1') 及 (2') 可得

$$\int_a^b dx \int_{\phi_1(x)}^{\phi_2(x)} f(x, y) dy = \int_c^d dy \int_{\phi_1(y)}^{\phi_2(y)} f(x, y) dx \quad (3)$$

例 1 计算 $\iint_D xy^2 d\sigma$, 其中 D 是由直线

$y=1$ 、 $x=0$ 及 $y=x$ 所围成的闭区域.

解 积分域 D 的图形如图 7-7 所示, 它显然既是 y 型区域, 也是 x 型区域

若将 D 看作 x 型区域, 则 D 可以表示为:

$$D: x \leq y \leq 1, 0 \leq x \leq 1$$

于是先对 y 积分, 再对 x 积分, 便得

$$\begin{aligned} \iint_D xy^2 d\sigma &= \int_0^1 dx \int_x^1 xy^2 dy \\ &= \int_0^1 x \left[\frac{1}{3} y^3 \right]_x^1 dx = \int_0^1 x \left(\frac{1}{3} - \frac{x^3}{3} \right) dx = \frac{1}{10}. \end{aligned}$$

例 2 计算 $\iint_D \frac{x^2}{y^2} dx dy$, 其中 D 由双曲线 $xy=1$ 及直

线 $y=x$, $x=2$ 围成.

解 积分区域如图 7-8 所示, 它显然是 x 型的, 则 D 可以表示为 $D: \frac{1}{x} \leq y \leq x, 1 \leq x \leq 2$.

于是, 先对 y 积分再对 x 积分, 便得

$$\begin{aligned} \iint_D \frac{x^2}{y^2} dx dy &= \int_1^2 x^2 dx \int_{\frac{1}{x}}^x \frac{1}{y^2} dy = \int_1^2 x^2 \left[-\frac{1}{y} \right]_{\frac{1}{x}}^x dx \\ &= \int_1^2 (x^3 - x) dx = 2\frac{1}{4} \end{aligned}$$

本题如果将积分区域看作 y 型区域, 则要计算两个积分相对比较麻烦一些。

例 3 计算二重积分 $\iint_D \frac{\sin y}{y} dx dy$, 其中 D 是由直线

$y=x$ 与抛物线 $y^2=x$ 所围成的区域.

解 积分区域 D 为

$$D: y^2 \leq x \leq y, 0 \leq y \leq 1$$

于是先对 x 积分后对 y 积分, 便得

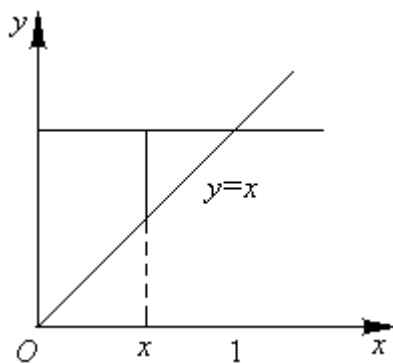


图 7-7

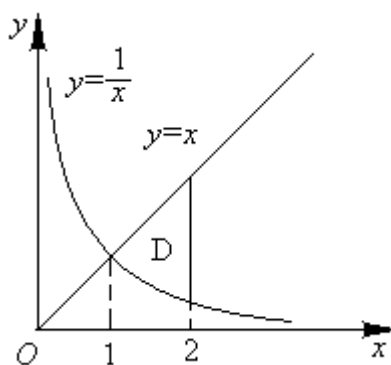


图 7-8

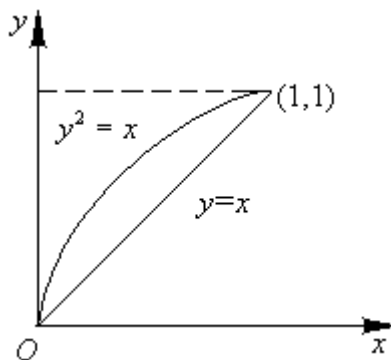


图 7-9

$$\begin{aligned}\iint_D \frac{\sin y}{y} dx dy &= \int_0^1 dy \int_{y^2}^y \frac{\sin y}{y} dx \\&= \int_0^1 \frac{\sin y}{y} [x]_{y^2}^y dy = \int_0^1 (1-y) \sin y dy = 1 - \sin 1\end{aligned}$$

如果使用 x 型区域则无法积分.

例 4 求两个底圆半径都等于 R 的直交圆柱面所围成的立体的体积.

解 设这两个圆柱面的方程分别为

$$x^2 + y^2 = R^2 \quad \text{及} \quad x^2 + z^2 = R^2$$

利用对称性, 只需算出第一卦限部分的体积 V , 然后乘以 8.

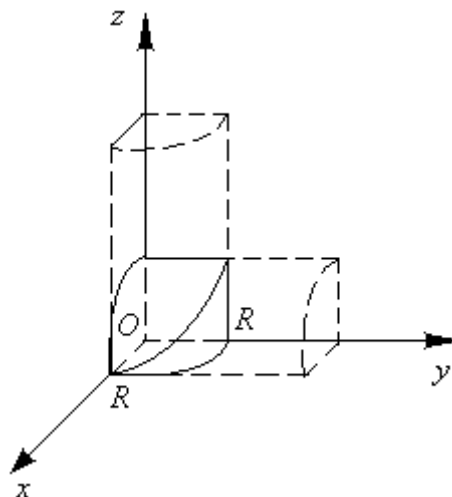


图 7-10

在第一卦限, 立体可以看作以柱面 $z = \sqrt{R^2 - x^2}$ 为曲顶, 积分区域为

$$D: \{(x, y) | 0 \leq y \leq \sqrt{R^2 - x^2}, 0 \leq x \leq R\},$$

于是

$$\begin{aligned}V_1 &= \iint_D \sqrt{R^2 - x^2} d\sigma = \int_0^R \left[\int_0^{\sqrt{R^2 - x^2}} \sqrt{R^2 - x^2} dy \right] dx \\&= \int_0^R \left[\sqrt{R^2 - x^2} y \right]_0^{\sqrt{R^2 - x^2}} dx = \int_0^R (R^2 - x^2) dx = \frac{2}{3} R^3\end{aligned}$$

从而所求立体的体积为

$$V = 8V_1 = \frac{16}{3} R^3.$$

7.2.3 极坐标系下二重积分的计算

设 $f(x, y)$ 在有界闭区域 D 上连续, 现将 D 用 $\rho = \text{常数}$ 的一族同心圆及 $\theta = \text{常数}$ 的一族

发自原点的射线进行分划 (如图 7-11), 此时

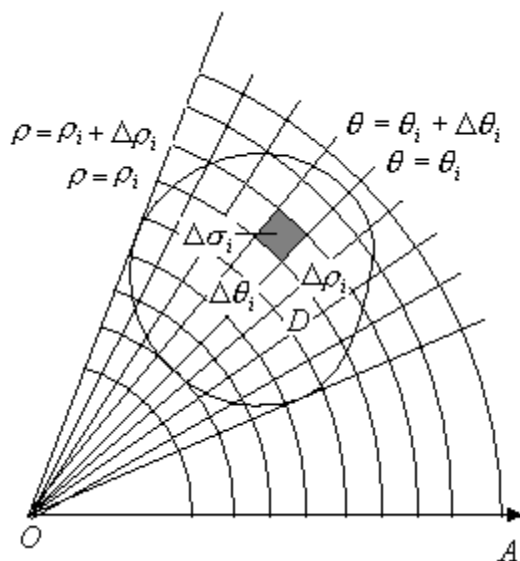
D 被分割成 n 个小区间 $\Delta\sigma_i (i=1, 2, \dots, n)$, 将

$\Delta\sigma_i$ 的面积也记为 $\Delta\sigma_i$, 于是除了包含边界点

的一些小区域外, 小区域的面积 $\Delta\sigma_i$ 可计算如

下:

$$\Delta\sigma_i = \frac{1}{2} (\rho_i + \Delta\rho_i)^2 \cdot \Delta\theta_i - \frac{1}{2} \rho_i^2 \cdot \Delta\theta_i$$



$$= \frac{1}{2}(2\rho_i + \Delta\rho_i)\Delta\rho_i \cdot \Delta\theta_i = \frac{\rho_i + (\rho_i + \Delta\rho_i)}{2} \cdot \Delta\rho_i \cdot \Delta\theta_i$$

图 7-11

$$= \bar{\rho}_i \cdot \Delta\rho_i \cdot \Delta\theta_i,$$

其中 $\bar{\rho}_i$ 表示相邻两圆弧的半径的平均值。在这小区域内取圆周 $\rho = \bar{\rho}_i$ 上的一点 $(\bar{\rho}_i, \bar{\theta}_i)$,

该点的直角坐标设为 ξ_i, η_i , 则由直角坐标与极坐标之间的关系有

$$\xi_i = \bar{\rho}_i \cos \bar{\theta}_i, \eta_i = \bar{\rho}_i \sin \bar{\theta}_i, \text{ 于是}$$

$$\lim_{\lambda \rightarrow 0} \sum_{i=1}^n f(\xi_i, \eta_i) \Delta\sigma_i = \lim_{\lambda \rightarrow 0} \sum_{i=1}^n f(\bar{\rho}_i \cos \bar{\theta}_i, \bar{\rho}_i \sin \bar{\theta}_i) \bar{\rho}_i \Delta\rho_i \Delta\theta_i,$$

$$\text{即} \quad \iint_D f(x, y) d\sigma = \iint_D f(\rho \cos \theta, \rho \sin \theta) \rho d\rho d\theta$$

在直角坐标系下为

$$\iint_D f(x, y) dx dy = \iint_D f(\rho \cos \theta, \rho \sin \theta) \rho d\rho d\theta$$

极坐标系下的二重积分, 同样可以化为二次积分来计算

设积分区域 D 可以用不等式

$$\varphi_1(\theta) \leq \rho \leq \varphi_2(\theta), \alpha \leq \theta \leq \beta$$

来表示 (图 7-11), 其中函数 $\varphi_1(\theta)$ 、 $\varphi_2(\theta)$ 在区间 $[\alpha, \beta]$ 上连续

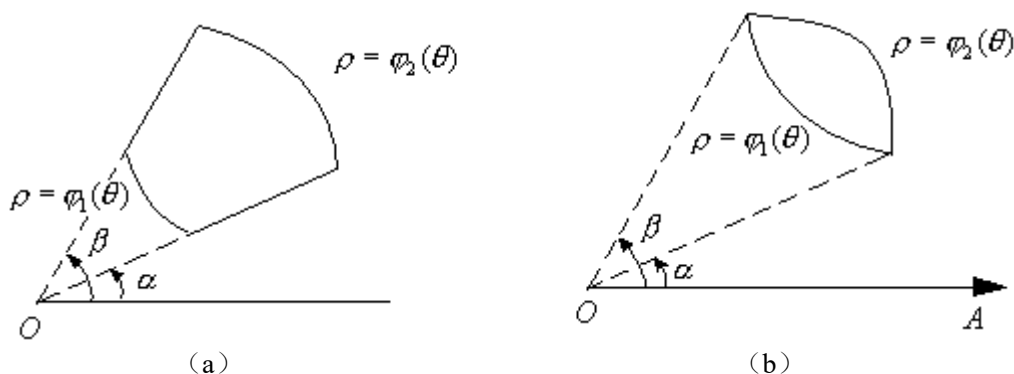


图 7-11

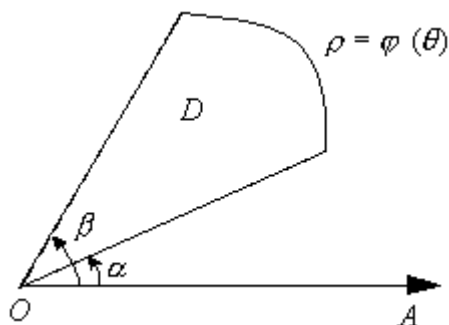
则类似于在直角坐标系下的讨论, 可得

$$\iint_D f(\rho \cos \theta, \rho \sin \theta) \rho d\rho d\theta = \int_{\alpha}^{\beta} d\theta \int_{\varphi_1(\theta)}^{\varphi_2(\theta)} f(\rho \cos \theta, \rho \sin \theta) \rho d\rho. \quad (5)$$

如果积分区域 D 是图 7-12 所示的曲边梯形, 你们可以把它看作图 7-10 (a) 中当

$\varphi_1(\theta) \equiv 0, \varphi_2(\theta) = \varphi(\theta)$ 时的特例. 这时闭区域 D 可

以用不等式



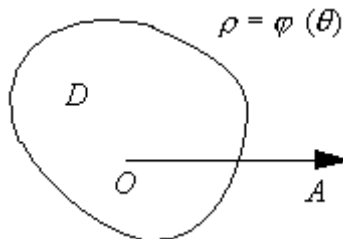
$$0 \leq \rho \leq \varphi(\theta), \alpha \leq \theta \leq \beta$$

来表示, 从而积分变为

图 7-12

$$\iint_D f(\rho \cos \theta, \rho \sin \theta) \rho d\rho d\theta = \int_{\alpha}^{\beta} d\theta \int_0^{\varphi(\theta)} f(\rho \cos \theta, \rho \sin \theta) \rho d\rho.$$

如果积分区域 D 如图 7-13 所示, 极点在 D 的内部, 那么可以把它看作图 7-12 中当 $\alpha = 0$ 、 $\beta = 2\pi$ 时的特例。这时闭区域 D 可以用不等式



$0 \leq \rho \leq \varphi(\theta), 0 \leq \theta \leq 2\pi$ 来表示, 这时积分公式变为

图 7-13

$$\iint_D f(\rho \cos \theta, \rho \sin \theta) \rho d\rho d\theta = \int_0^{2\pi} d\theta \int_0^{\varphi(\theta)} f(\rho \cos \theta, \rho \sin \theta) \rho d\rho.$$

在极坐标中, 面积元素 $d\sigma = \rho d\rho d\theta$, 上式成为 $\sigma = \iint_D \rho d\rho d\theta$

如果闭区域 D 如图 7-10 (a) 所示, 则由公式 (5) 有

$$\sigma = \iint_D \rho d\rho d\theta = \int_{\alpha}^{\beta} d\theta \int_{\varphi_1(\theta)}^{\varphi_2(\theta)} \rho d\rho = \frac{1}{2} \int_{\alpha}^{\beta} [\varphi_2^2(\theta) - \varphi_1^2(\theta)] d\theta$$

特别地, 如果闭区域 D 如图 7-12 所示, 则 $\sigma = \frac{1}{2} \int_{\alpha}^{\beta} \varphi^2(\theta) d\theta$

一般地, 当积分区域 D 是圆或圆的一部分, 且被积函数特别简单或被积函数能写成 $z = f(x^2 + y^2)$ 的形式时, 二重积分 $\iint_D f(x^2 + y^2) dx dy$ 可以采用极坐标来计算.

例 5 计算 $\iint_D e^{-x^2-y^2} dx dy$, 其中 D 是由中心在原点、半径为 a 的圆周所围成的闭区域.

解, 这时 D 可以表示为 $0 \leq \rho \leq a, 0 \leq \theta \leq 2\pi$.

由公式 (4) 及 (5) 有

$$\begin{aligned} \iint_D e^{-x^2-y^2} dx dy &= \iint_D e^{-\rho^2} \rho d\rho d\theta = \int_0^{2\pi} \left[\int_0^a e^{-\rho^2} \rho d\rho \right] d\theta \\ &= \int_0^{2\pi} \left[-\frac{1}{2} e^{-\rho^2} \right]_0^a d\theta = \frac{1}{2} (1 - e^{-a^2}) \int_0^{2\pi} d\theta \\ &= \pi (1 - e^{-a^2}) \end{aligned}$$

下面我们利用上述结果来计算工程上常用的反常积分 $\int_0^{+\infty} e^{-x^2} dx$ 。

设

$$D_1 = \{(x, y) \mid x^2 + y^2 \leq R^2, x \geq 0, y \geq 0\},$$

$$D_2 = \{(x, y) \mid x^2 + y^2 \leq 2R^2, x \geq 0, y \geq 0\},$$

$$S = \{(x, y) \mid 0 \leq x \leq R, 0 \leq y \leq R\}.$$

显然 $D_1 \subset S \subset D_2$ (图 7-14). 由于 $e^{-x^2-y^2} > 0$, 从而在这些闭区域上的二重积分之间有不等式

$$\iint_{D_1} e^{-x^2-y^2} dx dy < \iint_S e^{-x^2-y^2} dx dy < \iint_{D_2} e^{-x^2-y^2} dx dy$$

因为
$$\iint_S e^{-x^2-y^2} dx dy = \int_0^R e^{-x^2} dx \cdot \int_0^R e^{-y^2} dy$$

$$= \left(\int_0^R e^{-x^2} dx \right)^2,$$

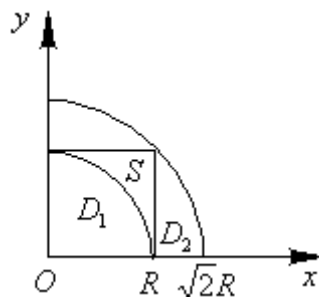


图 7-14

又应用上面已得的结果有

$$\iint_{D_1} e^{-x^2-y^2} dx dy = \frac{\pi}{4}(1 - e^{-R^2}), \quad \iint_{D_2} e^{-x^2-y^2} dx dy = \frac{\pi}{4}(1 - e^{-2R^2}).$$

于是上面的不等式可写成

$$\frac{\pi}{4}(1 - e^{-R^2}) \leq \left(\int_0^R e^{-x^2} dx \right)^2 \leq \frac{\pi}{4}(1 - e^{-2R^2})$$

令 $R \rightarrow +\infty$, 上式两端趋于同一极限 $\frac{\pi}{4}$, 从而
$$\int_0^{+\infty} e^{-x^2} dx = \frac{\sqrt{\pi}}{2}.$$

例 6 在一个形状为抛物面 $z = x^2 + y^2$ 的容器中, 装有 $2\pi \text{ cm}^3$ 的液体, 今再倒进

$8\pi \text{ cm}^3$ 的液体, 问液面升高多少 cm?

解 设容器的高为 h , 则容器的容量可看作由 $z=h$ 与 $z=x^2+y^2$ 所围立体的体积, 故容器的容量为

$$\begin{aligned} V &= \iint_D [h - (x^2 + y^2)] dx dy \\ &= \int_0^{2\pi} d\theta \int_0^{\sqrt{h}} (h - \rho^2) \rho d\rho \\ &= 2\pi \left[\frac{1}{2} h \rho^2 - \frac{1}{4} \rho^4 \right]_0^{\sqrt{h}} \\ &= \frac{1}{2} \pi h^2. \end{aligned}$$

将 $v = 2\pi$ 与 $V = 10\pi$ 代入上式, 得 $h_1 = 2$ 与 $h_2 = 2\sqrt{5}$. 因此液面升高为 $h_2 - h_1 = 2\sqrt{5} - 2$ (cm).

7.2.4 二重积分的换元法

定理 设 $f(x, y)$ 在 xOy 平面上的闭区域 D 上连续, 变换

$$T: x=x(u, v), y=y(u, v) \quad (7)$$

将 uOv 平面上的闭区域 D' 变为 xOy 平面上的 D , 且满足

- (1) $x=x(u, v), y=y(u, v)$ 在 D' 上具有一阶连续偏导数;
- (2) 在 D' 上雅克比式

$$J(u, v) = \frac{\partial(x, y)}{\partial(u, v)} \neq 0;$$

- (3) 变换 $T: D' \rightarrow D$ 是一对一的,

则有

$$\iint_D f(x, y) dx dy = \iint_{D'} f[x(u, v), y(u, v)] |J(u, v)| du dv. \quad (8)$$

公式 (8) 称为二重积分的换元公式.

例 7 计算 $\iint_D e^{\frac{y-x}{y+x}} dx dy$, 其中 D 是由 x 轴、 y 轴和直线 $x+y=2$ 所围成的闭区域.

解 令 $u = y - x, v = y + x$, 则 $x = \frac{v-u}{2}, y = \frac{v+u}{2}$.

作变换 $x = \frac{v-u}{2}, y = \frac{v+u}{2}$, 则 xOy 平面上的闭区域 D 和它在 uOv 平面上的对应区域

D' 如图 9-25 所示

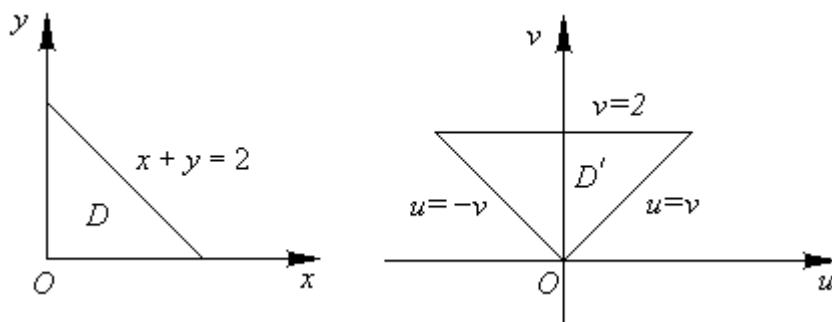


图 9-25

雅克比式为

$$J = \frac{\partial(x, y)}{\partial(u, v)} = \begin{vmatrix} -\frac{1}{2} & \frac{1}{2} \\ \frac{1}{2} & \frac{1}{2} \end{vmatrix} = -\frac{1}{2}$$

利用公式 (8)

$$\iint_D e^{\frac{y-x}{y+x}} dx dy = \iint_{D'} e^{\frac{u}{v}} \left| -\frac{1}{2} \right| du dv$$

$$\begin{aligned}
&= \frac{1}{2} \int_0^2 dv \int_{-v}^v e^{\frac{u}{v}} du \\
&= \frac{1}{2} \int_0^2 (e - e^{-1}) v dv = e - e^{-1}.
\end{aligned}$$

例 9 计算 $\iint_D \sqrt{1 - \frac{x^2}{a^2} - \frac{y^2}{b^2}} dx dy$, 其中 D 为椭圆 $\frac{x^2}{a^2} + \frac{y^2}{b^2} = 1$ 所围成的闭区域.

解 作广义极坐标变换

$$\begin{cases} x = a\rho \cos \theta, \\ y = b\rho \sin \theta, \end{cases}$$

其中 $a > 0, b > 0, \rho \geq 0, 0 \leq \theta \leq 2\pi$. 在这变换下, 与 D 对应的闭区域为 $D' = \{(\rho, \theta) \mid 0 \leq \rho \leq 1, 0 \leq \theta \leq 2\pi\}$, 雅克比式

$$J = \frac{\partial(x, y)}{\partial(\rho, \theta)} = ab\rho.$$

J 在 D' 内仅当 $\rho = 0$ 处为零, 故换元公式仍成立, 从而有

$$\iint_D \sqrt{1 - \frac{x^2}{a^2} - \frac{y^2}{b^2}} dx dy = \iint_{D'} \sqrt{1 - \rho^2} ab\rho d\rho d\theta = \frac{2}{3}\pi ab.$$

作业 3(1)(3)(5), 4(2)(4), 5(1)(3), 6(1)(3)(5), 9(2)(4), 10(1)

7.3 三重积分的计算

7.3.1 直角坐标系下三重积分的计算

如图 7-15, 区域 Ω 可以表示为 $\Omega = \{(x, y, z) \mid z_1(x, y) \leq z \leq z_2(x, y), (x, y) \in D_{xy}\}$

其中

$$D_{xy} = \{(x, y) \mid a \leq x \leq b, y_1(x) \leq y \leq y_2(x)\}$$

为 X -型区域, 称 Ω 为 XY -型区域

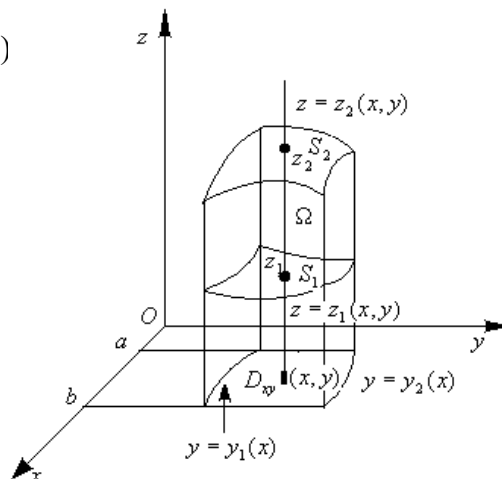
我们将 x, y 看作定值, 将 $f(x, y, z)$ 只看

作 z 的函数, 在区间 $[z_1(x, y), z_2(x, y)]$ 上对 z

积分. 积分的结果是 x, y 的函数, 记为

$F(x, y)$, 即

$$F(x, y) = \int_{z_1(x, y)}^{z_2(x, y)} f(x, y, z) dz.$$



然后计算 $F(x, y)$ 闭区域 D_{xy} 上的二重积分

图 7-15

$$\iint_{D_{xy}} F(x, y) d\sigma = \iint_{D_{xy}} \left[\int_{z_1(x, y)}^{z_2(x, y)} f(x, y, z) dz \right] d\sigma$$

再由二重积分的计算得到

$$\iiint_{\Omega} f(x, y, z) dv = \int_a^b dx \int_{y_1(x)}^{y_2(x)} dy \int_{z_1(x, y)}^{z_2(x, y)} dz. \quad (2)$$

公式 (2) 把三重积分化为线对 z 、次对 y 、最后对 x 的三重积分. 如果闭区域 Ω 不是 XY-型区域, 则可以将它划分成几个 XY-型区域. 然后利用积分的可加性, 进行计算.

例 1 计算三重积分 $\iiint_{\Omega} x dx dy dz$, 其中 Ω 为

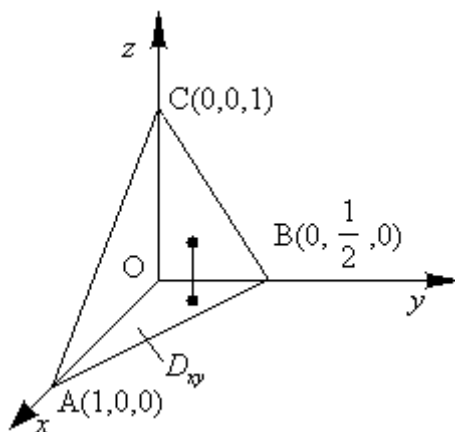


图 7-16

三个坐标面及平面 $x + 2y + z = 1$ 所围成的闭区域.

解 作闭区域 Ω 如图 7-16 所示.

将 Ω 投影到 xOy 面上, 得投影区域 D_{xy} 为三角形闭区域 OAB, 直线 OA、OB 及 AB 得

方程依次为 $y = 0$ 、 $x = 0$ 及 $x + 2y = 1$, 所以

$$D_{xy} = \{(x, y) \mid 0 \leq y \leq \frac{1-x}{2}, 0 \leq x \leq 1\}$$

在 D_{xy} 内任取一点 (x, y) , 过该点作平行于 z 轴的直线, 该直线通过平面 $z = 0$ 穿入 Ω

内, 然后通过平面 $z = 1 - x - 2y$ 穿出 Ω 外.

于是, 由公式 (2) 得

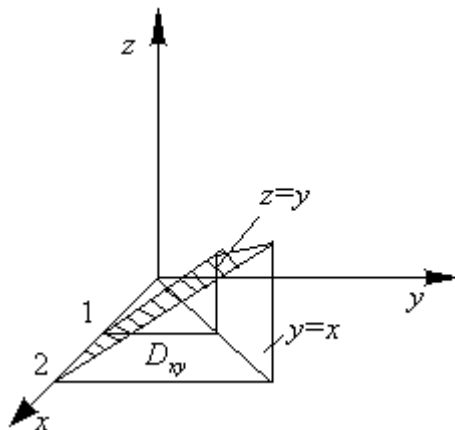
$$\begin{aligned} \iiint_{\Omega} x dx dy dz &= \int_0^1 dx \int_0^{\frac{1-x}{2}} dy \int_0^{1-x-2y} x dz = \int_0^1 dx \int_0^{\frac{1-x}{2}} (1-x-2y) dy \\ &= \frac{1}{4} \int_0^1 (x - 2x^2 + x^3) dx = \frac{1}{48}. \end{aligned}$$

例 2 计算 $\iiint_V \frac{dx dy dz}{x^2 + y^2}$, 其中 V 是由平面

$x = 1, x = 2, z = 0, y = x$ 及 $z = y$ 围成得区域.

不难画出 V 的图形如图 7-17. 由图可知, V 同时是三种类型的区域. 下面按 XY-型区域来计算, 这时 V 可以表示为

$$V : 0 \leq z \leq y, 0 \leq y \leq x, 1 \leq x \leq 2,$$



因此

图 7-17

$$\begin{aligned}\iiint_V \frac{dx dy dz}{x^2 + y^2} &= \int_1^2 dx \int_0^x dy \int_0^y \frac{dz}{x^2 + y^2} = \int_1^2 dx \int_0^x \frac{y}{x^2 + y^2} dy \\ &= \frac{1}{2} \int_1^2 \ln(x^2 + y^2) \Big|_0^x dx = \frac{1}{2} \int_1^2 \ln 2 dx = \frac{1}{2} \ln 2.\end{aligned}$$

有时, 我们计算一个三重积分也可以先计算一个二重积分、再计算一个定积分, 即有下述计算公式

设空间闭区域

$$\Omega = \{(x, y, z) \mid (x, y) \in D_z, c_1 \leq z \leq c_2\},$$

其中 D_z 是竖坐标为 z 的平面截闭区域 Ω 所得到的一个平面闭区域 (图 7-18), 则有

$$\iiint_{\Omega} f(x, y, z) dv = \int_{c_1}^{c_2} dz \iint_{D_z} f(x, y, z) dx dy. \quad (3)$$

例 3 计算三重积分 $\iiint_{\Omega} z^2 dx dy dz$, 其中 Ω 是由

椭球面 $\frac{x^2}{a^2} + \frac{y^2}{b^2} + \frac{z^2}{c^2} = 1$ 所围成的空间闭区域.

解 空间闭区域 Ω 以表示为

$$\{(x, y, z) \mid \frac{x^2}{a^2} + \frac{y^2}{b^2} \leq 1 - \frac{z^2}{c^2}, -c \leq z \leq c\}$$

如图 9-33 所示, 由公式 (3) 得

$$\begin{aligned}\iiint_{\Omega} z^2 dx dy dz &= \int_{-c}^c z^2 dz \iint_{D_z} dx dy \\ &= \pi ab \int_{-c}^c \left(1 - \frac{z^2}{c^2}\right) dz \\ &= \frac{4}{15} \pi abc^2\end{aligned}$$

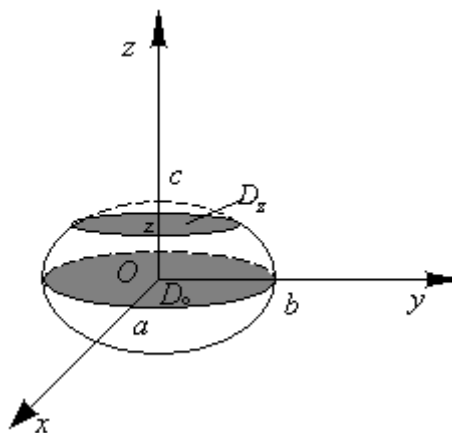


图 7-18

7.3.2 柱面坐标系与球面坐标系下三重积分的计算

1. 三重积分的换元法

和定积分、二重积分类似, 三重积分也可以利用换元法来计算。这里只给出结论

定理 设 V 是 xOy 坐标系中的有界闭区域, 函数 $f(x, y, z)$ 在 V 上连续: V' 是 $O'uvw$ 坐

标系中的有界闭区域, 函数 $x = x(u, v, w), y = y(u, v, w), z = z(u, v, w)$ (2.4)

在 V' 上有连续的一阶偏导数, 且 Jacobi 行列式

$$J = \frac{D(x, y, z)}{D(u, v, w)} = \frac{\begin{vmatrix} \frac{\partial x}{\partial u} & \frac{\partial x}{\partial v} & \frac{\partial x}{\partial w} \\ \frac{\partial y}{\partial u} & \frac{\partial y}{\partial v} & \frac{\partial y}{\partial w} \\ \frac{\partial z}{\partial u} & \frac{\partial z}{\partial v} & \frac{\partial z}{\partial w} \end{vmatrix}}{\begin{vmatrix} \frac{\partial u}{\partial u} & \frac{\partial u}{\partial v} & \frac{\partial u}{\partial w} \\ \frac{\partial v}{\partial u} & \frac{\partial v}{\partial v} & \frac{\partial v}{\partial w} \\ \frac{\partial w}{\partial u} & \frac{\partial w}{\partial v} & \frac{\partial w}{\partial w} \end{vmatrix}} \neq 0 \quad (u, v, w) \in V'; \quad (2.5)$$

当变换 (2.4) 把 V' 一对一地变到 V 时, 则有

$$\iiint_V f(x, y, z) dx dy dz = \iiint_{V'} F(u, v, w) |J| du dv dw \quad (2.6)$$

其中

$$F(u, v, w) = f(x(u, v, w), y(u, v, w), z(u, v, w)).$$

例 4 求由曲面 $\frac{x^2}{a^2} + \frac{y^2}{b^2} + \frac{z^2}{c^2} = 1$ 围成的空间闭区域 V 的体积.

解 根据三重积分的性质

$$V = \iiint_V dx dy dz,$$

作变量代换

$$\begin{cases} x = au \\ y = bv \\ z = cw \end{cases}$$

由于

$$V = \{(x, y, z) \mid \frac{x^2}{a^2} + \frac{y^2}{b^2} + \frac{z^2}{c^2} \leq 1\}$$

从而得

$$V' = \{(u, v, w) \mid u^2 + v^2 + w^2 \leq 1\}$$

即 V' 是 $O'uvw$ 中得单位球型闭区域。又

$$J = \frac{\begin{vmatrix} \frac{\partial x}{\partial u} & \frac{\partial x}{\partial v} & \frac{\partial x}{\partial w} \\ \frac{\partial y}{\partial u} & \frac{\partial y}{\partial v} & \frac{\partial y}{\partial w} \\ \frac{\partial z}{\partial u} & \frac{\partial z}{\partial v} & \frac{\partial z}{\partial w} \end{vmatrix}}{\begin{vmatrix} \frac{\partial u}{\partial u} & \frac{\partial u}{\partial v} & \frac{\partial u}{\partial w} \\ \frac{\partial v}{\partial u} & \frac{\partial v}{\partial v} & \frac{\partial v}{\partial w} \\ \frac{\partial w}{\partial u} & \frac{\partial w}{\partial v} & \frac{\partial w}{\partial w} \end{vmatrix}} = \frac{\begin{vmatrix} a & 0 & 0 \\ 0 & b & 0 \\ 0 & 0 & c \end{vmatrix}}{1} = abc \neq 0,$$

于是, 由变量代换公式 (2.6) 得

$$V = \iiint_V abc du dv dw = abc \iiint_{V'} du dv dw = \frac{4}{3} \pi abc$$

2. 柱面坐标系下三重积分的计算

设 $M(x, y, z)$ 为空间内一点, 并设点 M 在 xOy 面上的投影 P 的极坐标为 ρ, θ , 则这样

的三个数 ρ, θ, z 就叫做点 M 的柱面坐标, 如图 7-19 所示, 这里规定 ρ, θ, z 的变化范围为

$$\begin{aligned} 0 &\leq \rho < +\infty \\ 0 &\leq \theta \leq 2\pi \\ -\infty &< z < +\infty \end{aligned}$$

三组坐标面分别为

$\rho = \text{常数}$, 即以 z 轴为轴的圆柱面;

$\theta = \text{常数}$, 即过 z 轴的平面;

$z = \text{常数}$, 即与 xOy 面平行的平面.

显然, 点 M 的直角坐标与柱面坐标的关系为

$$\begin{cases} x = \rho \cos \theta \\ y = \rho \sin \theta \\ z = z \end{cases} \quad (4)$$

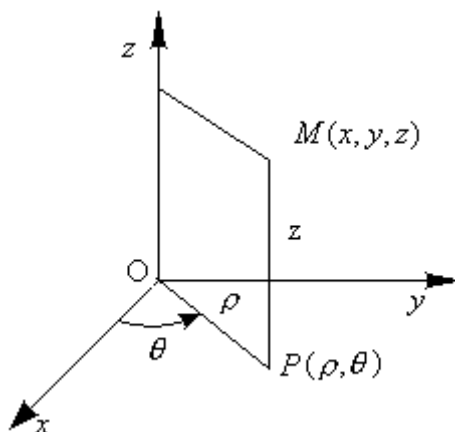


图 7-19

现在要把三重积分 $\iiint_{\Omega} f(x, y, z) dv$ 中的变量化为柱面坐标。由柱坐标变换得

$$J = \frac{D(x, y, z)}{D(\rho, \theta, z)} = \begin{vmatrix} \cos \theta & -\rho \sin \theta & 0 \\ \sin \theta & \rho \cos \theta & 0 \\ 0 & 0 & 1 \end{vmatrix} = \rho$$

再由三重积分的变换公式得

$$\iiint_{\Omega} f(x, y, z) dx dy dz = \iiint_{\Omega} F(\rho, \theta, z) \rho d\rho d\theta dz \quad (5)$$

其中 $F(\rho, \theta, z) = f(\rho \cos \theta, \rho \sin \theta, z)$

这时 Ω 与 Ω' 是同一立体, 只是坐标系不同。

一般来说, 当被积函数可化为 $\varphi(x^2 + y^2, z)$ 的形式, 而积分域 V 是以 z 轴为轴得旋转体或部分旋转体时, 利用柱面坐标计算三重积分较简单.

例 5 利用柱面坐标计算三重积分 $\iiint_{\Omega} z dx dy dz$, 其中 Ω 是由曲面 $z = x^2 + y^2$ 与平面 $z = 4$ 所围成得闭区域.

解: Ω 在 xOy 面上的投影区域为半径为 2 的闭区域 $D_{xy} = \{(\rho, \theta) | 0 \leq \rho \leq 2,$

$0 \leq \theta \leq 2\pi\}$ 。而 z 是从抛物面 $z = x^2 + y^2$ 到 $z = 4$, 故 $\rho^2 \leq z \leq 4$, 即闭区域 Ω 可以表示为

$$\rho^2 \leq z \leq 4, 0 \leq \rho \leq 2, 0 \leq \theta \leq 2\pi$$

于是

$$\iiint_{\Omega} z dx dy dz = \iiint_{\Omega} z \rho d\rho d\theta dz = \int_0^{2\pi} d\theta \int_0^2 \rho d\rho \int_{\rho^2}^4 z dz$$

$$= \frac{1}{2} \int_0^{2\pi} d\theta \int_0^2 \rho(16 - \rho^4) d\rho = \frac{1}{2} \cdot 2\pi \left[8\rho^2 - \frac{1}{6}\rho^6 \right]_0^2 = \frac{64}{3}\pi.$$

3. 利用球面坐标计算三重积分

设 $M(x, y, z)$ 为空间内一点, 则点 M 也可用这样三个有次序的数 r, φ, θ 来确定, 其中 r

为原点 O 与点 M 间的距离, φ 为有向线段 \overrightarrow{OM} 与 z 轴正向所夹的角, θ 为从正 z 轴来看自 x 轴按逆时针方向转到有向线段 \overrightarrow{OP} 的角, 这里 P 为点 M 在 xOy 面上的投影 (图 7-20)。

这样的三个数 r, φ, θ 叫做点 M 的球面坐标。这里 r, φ, θ 的变化范围为

$$0 \leq r < +\infty$$

$$0 \leq \varphi \leq \pi$$

$$0 \leq \theta \leq 2\pi$$

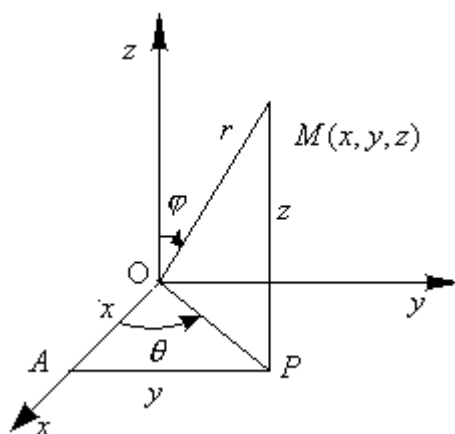


图 7-20

三组坐标面分别为

$r = \text{常数}$, 即以原点为心的球面;

$\varphi = \text{常数}$, 即以原点为顶点、 z 轴为轴的圆锥面;

$\theta = \text{常数}$, 即过 z 轴的半平面.

设点 M 在 xOy 面上的投影为 P , 点 P 在 x 轴上的投影为 A , 则 $OA = x$, $AP = y$, $PM = z$ 。

又

$$OP = r \sin \varphi, \quad z = r \cos \varphi$$

因此, 点 M 的直角坐标与球面坐标的关系为

$$\begin{cases} x = OP \cos \theta = r \sin \varphi \cos \theta \\ y = OP \sin \theta = r \sin \varphi \sin \theta \\ z = r \cos \varphi \end{cases}$$

由球坐标变换得

$$J = \frac{D(x, y, z)}{D(r, \theta, \varphi)} = \begin{vmatrix} \sin \phi \cos \theta & -r \sin \phi \sin \theta & r \cos \phi \cos \theta \\ \sin \phi \sin \theta & r \sin \phi \cos \theta & r \cos \phi \sin \theta \\ \cos \phi & 0 & -r \sin \phi \end{vmatrix} = -r^2 \sin \phi$$

从而 $|J| = r^2 \sin \phi$

由三重积分的换元公式得,

$$\iiint_{\Omega} f(x, y, z) dx dy dz = \iiint_{\Omega} F(r, \varphi, \theta) r^2 \sin \varphi dr d\varphi d\theta \quad (7)$$

其中 $F(r, \varphi, \theta) = f(r \sin \varphi \cos \theta, r \sin \varphi \sin \theta, r \cos \varphi)$

若积分区域 Ω 得边界曲面是一个包围原点在内的闭曲面, 其球面坐标方程为

$r = r(\varphi, \theta)$, 则

$$\begin{aligned} I &= \iiint_{\Omega} F(r, \varphi, \theta) r^2 \sin \varphi dr d\varphi d\theta \\ &= \int_0^{2\pi} d\theta \int_0^{\pi} d\varphi \int_0^{r(\varphi, \theta)} F(r, \varphi, \theta) r^2 \sin \varphi dr. \end{aligned}$$

当积分区域 Ω 为球面 $r = a$ 所围成时, 则

$$I = \int_0^{2\pi} d\theta \int_0^{\pi} d\varphi \int_0^a F(r, \varphi, \theta) r^2 \sin \varphi dr.$$

特别地, 当 $F(r, \varphi, \theta) = 1$ 时, 由上式即得球的体积.

$$V = \int_0^{2\pi} d\theta \int_0^{\pi} \sin \varphi d\varphi \int_0^a r^2 dr = 2\pi \cdot 2 \cdot \frac{a^3}{3} = \frac{4}{3} \pi a^3.$$

一般来说, 当被积函数可写成 $x^2 + y^2 + z^2$ 的函数, 而积分域为球体或其一部分时, 利用球面坐标计算三重积分比较简单.

例 6 求半径为 a 的球面域半顶角为 α 的内接锥面所围成的立体 (图 7-21) 的体积.

解 设球面通过原点 O , 球心在 z 轴上, 又内接锥面的顶点在原点 O , 其轴与 z 轴重合, 则球面方程为 $r = 2a \cos \varphi$, 锥面方程为 $\varphi = \alpha$. 因为立体所占有的空间闭区域 Ω 可用不等式

$$0 \leq r \leq 2a \cos \varphi, 0 \leq \varphi \leq \alpha, 0 \leq \theta \leq 2\pi$$

来表示, 所以

$$\begin{aligned} V &= \iiint_{\Omega} r^2 \sin \varphi dr d\varphi d\theta = \int_0^{2\pi} d\theta \int_0^{\alpha} d\varphi \int_0^{2a \cos \varphi} r^2 \sin \varphi dr \\ &= 2\pi \int_0^{\alpha} \sin \varphi d\varphi \int_0^{2a \cos \varphi} r^2 dr = \frac{16\pi a^3}{3} \int_0^{\alpha} \cos^3 \varphi \sin \varphi d\varphi \\ &= \frac{4\pi a^3}{3} (1 - \cos^4 \alpha). \end{aligned}$$

作业 2 奇数, 3, 4 奇数, 5 偶数, 6, 8, 10

7.4 数量值函数的曲线与曲面积分的计算

7.4.1 第一型曲线积分的计算

定理 设 $f(x, y)$ 在曲线弧 L 上有定义且连续, L 的参数方程为
$$\begin{cases} x = \varphi(t), \\ y = \phi(t), \end{cases} \quad (\alpha \leq t \leq \beta)$$

其中 $\varphi(t)$ 、 $\phi(t)$ 在 $[\alpha, \beta]$ 上具有一阶连续导数, 且 $\varphi'^2(t) + \phi'^2(t) \neq 0$, 则曲线积分

$\int_L f(x, y) ds$ 存在, 且

$$\int_L f(x, y) ds = \int_{\alpha}^{\beta} f[\varphi(t), \phi(t)] \sqrt{\varphi'^2(t) + \phi'^2(t)} dt \quad (\alpha < \beta). \quad (1)$$

证 设当参数 t 由 α 变到 β 时, L 上的点 $M(x, y)$ 依点 A 至点 B 的方向描出曲线 L . 在 L 上取一列点

$$A = M_0, M_1, M_2, \dots, M_{n-1}, M_n = B,$$

它们对应于一列单调增加的参数值

$$\alpha = t_0 < t_1 < t_2 \cdots < t_{n-1} < t_n = \beta.$$

由于

$$\Delta s_i = \int_{t_{i-1}}^{t_i} \sqrt{\varphi'^2(t) + \phi'^2(t)} dt,$$

由积分中值定理, 有

$$\Delta s_i = \sqrt{\varphi'^2(\tau_i) + \phi'^2(\tau_i)} \Delta t_i,$$

其中 $\Delta t_i = t_i - t_{i-1}$, $t_{i-1} \leq \tau_i \leq t_i$.

根据对弧长的曲线积分的定义, 有

$$\int_L f(x, y) ds = \lim_{\lambda \rightarrow 0} \sum_{i=1}^n f(\xi_i, \eta_i) \Delta s_i$$

取点 (ξ_i, η_i) 对应于参数值 τ_i , 即 $\xi_i = \varphi(\tau_i)$ 、 $\eta_i = \phi(\tau_i)$, 于是

$$\int_L f(x, y) ds = \lim_{\lambda \rightarrow 0} \sum_{i=1}^n f[\varphi(\tau_i), \phi(\tau_i)] \sqrt{\varphi'^2(\tau_i) + \phi'^2(\tau_i)} \Delta t_i$$

上式右端的和的极限, 就是函数 $f[\varphi(t), \phi(t)] \sqrt{\varphi'^2(t) + \phi'^2(t)}$ 在区间 $[\alpha, \beta]$ 上的定积分,

由于这个函数在 $[\alpha, \beta]$ 上连续, 所以这个定积分是存在的, 因此上式右端的曲线积分

$\int_L f(x, y)ds$ 也存在, 并且有

$$\int_L f(x, y)ds = \int_{\alpha}^{\beta} f[\varphi(t), \phi(t)]\sqrt{\varphi'^2(t) + \phi'^2(t)}dt \quad (\alpha < t < \beta) \quad (1)$$

使用 (1) 时要注意, 积分下限 α 一定要小于上限 β .

如果曲线 L 由参数方程

$$y = \phi(x) \quad (x_0 \leq x \leq X)$$

给出, 那么可以把这种情形看作是特殊的参数方程

$$x = t, y = \phi(t) \quad (x_0 \leq t \leq X)$$

的情形, 从而由公式 (1) 得出

$$\int_L f(x, y)ds = \int_{x_0}^X f[x, \phi(x)]\sqrt{1 + \phi'^2(x)}dx \quad (x_0 < X) \quad (2)$$

类似地, 如果曲线 L 由方程

$$x = \varphi(y) \quad (y_0 \leq y \leq Y)$$

给出, 则有

$$\int_L f(x, y)ds = \int_{y_0}^Y f[\varphi(y), y]\sqrt{1 + \varphi'^2(y)}dy \quad (y_0 < Y) \quad (3)$$

完全类似地, 若空间曲线 Γ 由参数方程

$$x = \varphi(t), y = \phi(t), z = \omega(t) \quad (\alpha \leq t < \beta)$$

给出的情形, 这样就有

$$\int_L f(x, y, z)ds = \int_{\alpha}^{\beta} f[\varphi(t), \phi(t), \omega(t)]\sqrt{\varphi'^2(t) + \phi'^2(t) + \omega'^2(t)}dt \quad (\alpha < \beta) \quad (4)$$

例 1 计算 $\oint_L \sqrt{x^2 + y^2} ds$, 其中 L 是圆周 $x^2 + y^2 = ax$. 记号 \oint_L 表示沿封闭曲线 L 积分.

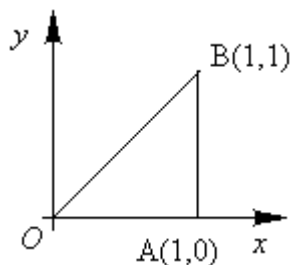
解 L 可以表示为 $\left(x - \frac{a}{2}\right)^2 + y^2 = \left(\frac{a}{2}\right)^2$

其参数方程为 $x = \frac{a}{2} + \frac{a}{2}\cos\theta, y = \frac{a}{2}\sin\theta \quad 0 \leq \theta \leq 2\pi$,

于是

$$\begin{aligned} \oint_L \sqrt{x^2 + y^2} ds &= \int_0^{2\pi} \sqrt{\frac{a^2}{2}(1 + \cos\theta)} \sqrt{\frac{a^2}{4}(\sin^2\theta + \cos^2\theta)} d\theta \\ &= \frac{a^2}{2} \int_0^{2\pi} \left| \cos \frac{\theta}{2} \right| d\theta = \frac{a^2}{2} \left[\int_0^{\pi} \cos \frac{\theta}{2} d\theta - \int_{\pi}^{2\pi} \cos \frac{\theta}{2} d\theta \right] = 2a^2. \end{aligned}$$

例 2 计算 $\oint_L (x + y)ds$, 其中 L 是以



$O(0,0), A(1,0), B(1,1)$ 为顶点的三角形的边界 (如图 7-22)

解 由积分的性质知

$$\oint_L (x+y)ds = \oint_{OA} (x+y)ds + \oint_{AB} (x+y)ds + \oint_{BO} (x+y)ds$$

图 7-22

因为在 OA 上 $y=0$, 所以

$$ds = \sqrt{1+y'^2} dx = dx;$$

在 AB 上 $x=1$, 所以

$$ds = \sqrt{1+x'^2} dy = dy;$$

在 BO 上 $y=x$, 所以

$$ds = \sqrt{1+y'^2} dx = \sqrt{2}dx$$

于是

$$\begin{aligned}\oint_L (x+y)ds &= \int_0^1 xdx + \int_0^1 (1+y)dy + \int_0^1 (x+x)\sqrt{2}dx \\ &= \frac{1}{2} + \frac{3}{2} + \sqrt{2} = 2 + \sqrt{2}.\end{aligned}$$

例 3 计算半径为 R 、中心角为 2α 的圆弧 L 对于它的对称轴的转动惯量 I (设线密度 $\mu=1$).

解 取坐标系如图 7-23, 则 $I = \int_L y^2 ds$

为了便于计算, 利用 L 的参数方程

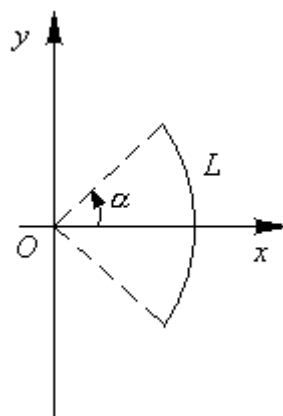
$$x = R \cos \theta, y = R \sin \theta \quad (-\alpha \leq \theta \leq \alpha).$$

于是

$$\begin{aligned}I &= \int_L y^2 ds = \int_{-\alpha}^{\alpha} R^2 \sin^2 \theta \sqrt{(-R \sin \theta)^2 + (R \cos \theta)^2} d\theta \\ &= R^3 \int_{-\alpha}^{\alpha} \sin^2 \theta d\theta = \frac{R^3}{2} \left[\theta - \frac{\sin 2\theta}{2} \right]_{-\alpha}^{\alpha} \\ &= \frac{R^3}{2} (2\alpha - \sin 2\alpha) = R^3 (\alpha - \sin \alpha \cos \alpha).\end{aligned}$$

例 4 计算 $\int_L \sqrt{2y^2 + z^2} ds$, 其中 L 为球面 $x^2 + y^2 + z^2 = a^2$ 与平面 $x=y$ 的交线

解 L 是平面 $y=x$ 上的圆. 将 $y=x$ 代入 $x^2 + y^2 + z^2 = a^2$, 消去 x , 得 L 向 yOz 面的投影柱面方程



$$\frac{z^2}{a^2} + \frac{y^2}{\left(\frac{a}{\sqrt{2}}\right)^2} = 1.$$

由此可知, 曲线 L 的参数方程为

$$\begin{cases} x = \frac{a}{\sqrt{2}} \sin t, \\ y = \frac{a}{\sqrt{2}} \sin t, \\ z = a \cos t, \end{cases} \quad 0 \leq t \leq 2\pi.$$

于是

$$\int_L \sqrt{2y^2 + z^2} ds = \int_0^{2\pi} a \cdot a dt = 2\pi a^2.$$

下面给出第一型曲线积分的几何解释。

设有柱面 S (图 7-24), 它的母线平行于 z 轴, 准线为 xOy 平面上的曲线段 L . 柱面的“高度” $f(x, y) ((x, y) \in L)$ 是一个变量, 这里 $f(x, y)$ 是定义在 L 上的非负连续函数。现用

L 上的点 $M_0, M_1, M_2, \dots, M_n$ 将 L 分为 n 个小弧段, 在每个分点处作平行于 z 轴的直线, 就

把 S 分为 n 个小柱面。在每个小弧

段 $\overline{M_{i-1}M_i}$ 上任取一点 (ξ_i, η_i) , 这

样第 i 个小柱面的面积可近似表示

为 $\Delta S_i \approx f(\xi_i, \eta_i) \Delta s_i$, 其中 Δs_i 表

示 $\overline{M_{i-1}M_i}$ 的弧长。于是柱面面积为

$$S = \lim_{n \rightarrow \infty} \sum_{i=1}^n f(\xi_i, \eta_i) \Delta s_i \quad \text{即}$$

$$S = \int_L f(x, y) ds.$$

可见, 第一型曲线积分

$$\int_L f(x, y) ds, \quad \text{当 } f(x, y) \geq 0 \text{ 时,}$$

表示以 xOy 平面上的曲线段 L 为准线。母线平行于 z 轴, 高度为 $f(x, y)$ 的柱面面积。

例 5 设椭圆柱面 $\frac{x^2}{5} + \frac{y^2}{9} = 1$ 被平面 $z=y$ 及 $z=0$

所截。求位于第一、二卦限内所截下部分的侧面积 (图 7-25)。

解 由第一型曲线积分的几何意义, 得所求侧面

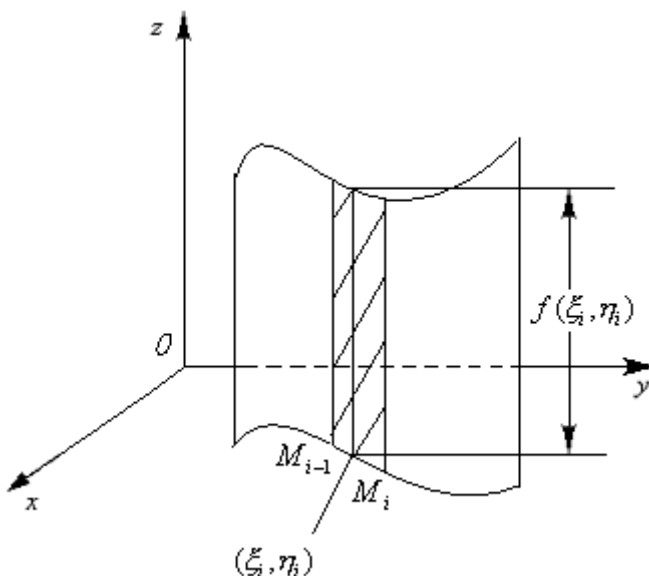
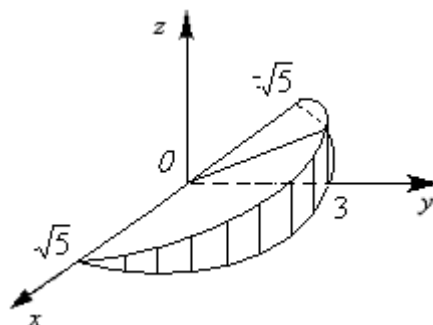


图 7-24



积

$$S = \int_L y ds$$

其中 L 为 xOy 平面上的半个椭圆, 将 L 用参数方程表示, 有

图 7-25

$$x = \sqrt{5} \cos t, \quad y = 3 \sin t, \quad (0 \leq t \leq \pi)$$

于是

$$\begin{aligned} S &= \int_L y ds = \int_0^\pi 3 \sin t \sqrt{5 \sin^2 t + 9 \cos^2 t} dt \\ &= -3 \int_0^\pi \sqrt{5 + 4 \cos^2 t} d \cos t = 9 + \frac{15}{4} \ln 5 \end{aligned}$$

7.4.2 第一型曲面积分的计算

设曲面 S 的方程 $z = f(x, y)$ 给出, D 为曲面 S 在 xOy 面上的投影区域, 函数 $f(x, y)$

在 D 上具有连续的偏导数 $f_x(x, y)$ 和 $f_y(x, y)$ 。我们计算曲面 S 的面积 A 。

在闭区域 D 上任取一直径很小的闭区域 $d\sigma$ (这小闭区域的面积也记作 $d\sigma$)。在 $d\sigma$ 上任取一点 $P(x, y)$, 对应地曲面 S 上有一点 $M(x, y, f(x, y))$, 点 M 在 xOy 面上的投影即点 P 。点 M 处曲面 S 的切平面设为 T (图 9-38)。以小闭区域 $d\sigma$ 的边界为准线做母线平行于 z 轴的柱面, 这柱面在曲面 S 上截下一小片曲面, 在切平面 T 上截下一小片平面。由于 $d\sigma$ 的直径很小, 且平面 T 上的那一小片平面的面积 dA 可以近似代替相应的那小片曲面的面积。

设点 M 处曲面 S 上的法线 (指向朝上) 与 z 轴所成的角为 γ , 则 $dA = \frac{d\sigma}{\cos \gamma}$

因为 $\cos \gamma = \frac{1}{\sqrt{1 + f_x^2(x, y) + f_y^2(x, y)}}$, 所以 $dA = \sqrt{1 + f_x^2(x, y) + f_y^2(x, y)} d\sigma$ 。这就是

曲面 S 的面积元素, 以它为被积表达式在闭区域 D 上积分, 得

$$A = \iint_D \sqrt{1 + f_x^2(x, y) + f_y^2(x, y)} d\sigma$$

上式也可以写为 $A = \iint_D \sqrt{1 + \left(\frac{\partial z}{\partial x}\right)^2 + \left(\frac{\partial z}{\partial y}\right)^2} dx dy$ 。

这就是计算曲面面积的公式。

该公式也可以应用到曲面方程为 $x = g(y, z)$ 或 $y = h(z, x)$, 可分别把曲面投影到 yOz 面上或 zOx 平面上。

例 6 求半径为 a 的球的表面积。

解 取上半球面方程为 $z = \sqrt{a^2 - x^2 - y^2}$, 则它在 xOy 面上的投影区域 $D = \{(x, y) | x^2 + y^2 \leq a^2\}$ 。

$$\text{由 } \frac{\partial z}{\partial x} = \frac{-x}{\sqrt{a^2 - x^2 - y^2}}, \frac{\partial z}{\partial y} = \frac{-y}{\sqrt{a^2 - x^2 - y^2}},$$

$$\text{得 } \sqrt{1 + \left(\frac{\partial z}{\partial x}\right)^2 + \left(\frac{\partial z}{\partial y}\right)^2} = \frac{a}{\sqrt{a^2 - x^2 - y^2}}.$$

因为这函数在闭区域 D 上无界, 我们不能直接应用曲面面积公式. 所以先取区域

$D_1 = \{(x, y) | x^2 + y^2 \leq b^2\} (0 < b < a)$ 为积分区域, 算出相应于 D_1 上的球面面积 A_1 后,

令 $b \rightarrow a$ 取 A_1 的极限就得半球面的面积.

$$A_1 = \iint_{D_1} \frac{a}{\sqrt{a^2 - x^2 - y^2}} dx dy,$$

利用极坐标, 得

$$\begin{aligned} A_1 &= \iint_{D_1} \frac{a}{\sqrt{a^2 - \rho^2}} \rho d\rho d\theta = a \int_0^{2\pi} d\theta \int_0^b \frac{\rho d\rho}{\sqrt{a^2 - \rho^2}} \\ &= 2\pi a \int_0^b \frac{\rho d\rho}{\sqrt{a^2 - \rho^2}} = 2\pi a (a - \sqrt{a^2 - b^2}). \end{aligned}$$

$$\text{于是 } \lim_{b \rightarrow a} A_1 = \lim_{b \rightarrow a} 2\pi a (a - \sqrt{a^2 - b^2}) = 2\pi a^2.$$

这就是半个球面的面积, 因此整个球面的面积为 $A = 4\pi a^2$.

类似于第一型曲线积分的推导, 我们可以得到第一型曲面积分的计算公式如下:

$$\iint_{\Sigma} f(x, y, z) dS = \iint_{D_{xy}} f[x, y, z(x, y)] \sqrt{1 + z_x^2(x, y) + z_y^2(x, y)} dx dy \quad (2)$$

其中 $z(x, y)$ 为曲面 Σ 的方程, D_{xy} 为 Σ 在 xOy 面上的投影.

当积分曲面 Σ 由方程 $x = x(y, z)$ 或 $y = y(z, x)$ 给出, 也可类似地把对面积的曲面积分转化为相应的二重积分.

例 7 计算 $I = \iint_{\Sigma} (x^2 + y^2 + z^2) dS$, 其中 S 是锥面 $z^2 = 4(x^2 + y^2)$ 被柱面

$x^2 + y^2 - 2ax = 0$ 截下的一块面积 ($z \geq 0$).

解 S 的方程为

$$z = 2\sqrt{x^2 + y^2}, \quad D_{xy}: x^2 + y^2 - 2ax \leq 0,$$

用极坐标表示为:

$$0 \leq r \leq 2a \cos \theta, \quad -\frac{\pi}{2} \leq \theta \leq \frac{\pi}{2}.$$

于是由公式 (2), 得

$$\begin{aligned}
 I &= \iint_{D_{xy}} [x^2 + y^2 + 4(x^2 + y^2)] \sqrt{1 + z_x'^2 + z_y'^2} dx dy \\
 &= \iint_{D_{xy}} 5(x^2 + y^2) \sqrt{1 + \frac{4x^2 + 4y^2}{x^2 + y^2}} dx dy \\
 &= \iint_{D_{xy}} 5\sqrt{5}(x^2 + y^2) dx dy = 5\sqrt{5} \int_{-\frac{\pi}{2}}^{\frac{\pi}{2}} d\theta \int_0^{2a \cos \theta} r^3 dr \\
 &= 5\sqrt{5} \int_{-\frac{\pi}{2}}^{\frac{\pi}{2}} 4a^4 \cos^4 \theta d\theta = 40\sqrt{5}a^4 \int_0^{\frac{\pi}{2}} \cos^4 \theta d\theta \\
 &= 40\sqrt{5}a^4 \cdot \frac{3}{4} \cdot \frac{1}{2} \cdot \frac{\pi}{2} = \frac{15\sqrt{5}}{2} \pi a^4.
 \end{aligned}$$

例 8 计算曲面积分 $\iint_{\Sigma} \frac{dS}{z}$, 其中 Σ 是球面 $x^2 + y^2 + z^2 = a^2$ 被平面 $z = h$ ($0 < h < a$)

截出的顶部 (图 7-26) .

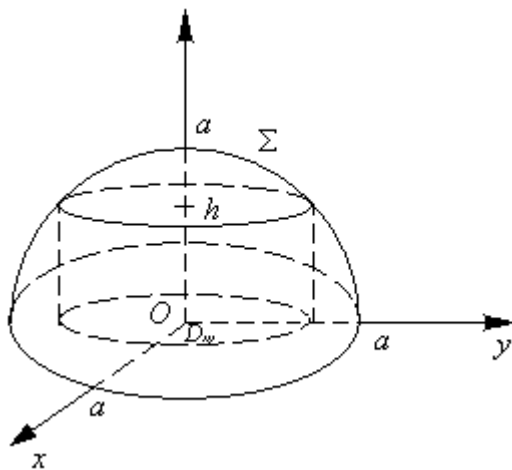


图 7-26

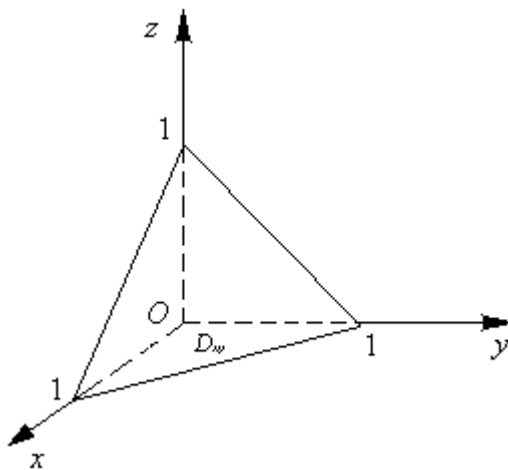


图 7-27

解 Σ 的方程为

$$z = \sqrt{a^2 - x^2 - y^2}.$$

Σ 在 xOy 面上的投影区域 D_{xy} 为圆形闭区域 $\{(x, y) | x^2 + y^2 \leq a^2 - h^2\}$. 又

$$\sqrt{1 + z_x'^2 + z_y'^2} = \frac{a}{\sqrt{a^2 - x^2 - y^2}}.$$

根据公式 (2), 有

$$\iint_{\Sigma} \frac{dS}{z} = \iint_{D_{xy}} \frac{a dx dy}{a^2 - x^2 - y^2}.$$

利用极坐标, 得

$$\begin{aligned}\iint_{\Sigma} \frac{dS}{z} &= \iint_{D_{xy}} \frac{a\rho d\rho d\theta}{a^2 - \rho^2} = a \int_0^{2\pi} d\theta \int_0^{\sqrt{a^2 - h^2}} \frac{\rho d\rho}{a^2 - \rho^2} \\ &= 2\pi a \left[-\frac{1}{2} \ln(a^2 - \rho^2) \right]_0^{\sqrt{a^2 - h^2}} = 2\pi a \ln \frac{a}{h}.\end{aligned}$$

例 9 计算 $\oiint_{\Sigma} xyz dS$, 其中 Σ 是由平面 $x=0, y=0, z=0$ 及 $x+y+z=1$ 所围成的四

面体的整个边界曲面 (图 7-27) .

解 整个边界曲面 Σ 在平面 $x=0, y=0, z=0$ 及 $x+y+z=1$ 上的部分依次记为

$\Sigma_1, \Sigma_2, \Sigma_3$ 及 Σ_4 , 于是

$$\oiint_{\Sigma} xyz dS = \oiint_{\Sigma_1} xyz dS + \oiint_{\Sigma_2} xyz dS + \oiint_{\Sigma_3} xyz dS + \oiint_{\Sigma_4} xyz dS.$$

由于在 $\Sigma_1, \Sigma_2, \Sigma_3$ 上, 被积函数 $f(x, y, z)$ 均为零, 所以

$$\oiint_{\Sigma_1} xyz dS = \oiint_{\Sigma_2} xyz dS = \oiint_{\Sigma_3} xyz dS = 0.$$

在 Σ_4 上, $z=1-x-y$, 所以

$$\sqrt{1+z_x^2+z_y^2} = \sqrt{1+(-1)^2+(-1)^2} = \sqrt{3},$$

从而

$$\oiint_{\Sigma} xyz dS = \oiint_{\Sigma_4} xyz dS = \iint_{D_{xy}} \sqrt{3} xy(1-x-y) dx dy$$

其中 D_{xy} 是 Σ_4 在 xOy 面上的投影区域, 即由直线 $x=0, y=0$ 及 $x+y=1$ 所围成的闭区域.

因此

$$\begin{aligned}\oiint_{\Sigma} xyz dS &= \sqrt{3} \int_0^1 x dx \int_0^{1-x} y(1-x-y) dy dx \\ &= \sqrt{3} \int_0^1 x \left[(1-x) \frac{y^2}{2} - \frac{y^3}{3} \right]_0^{1-x} dx \\ &= \sqrt{3} \int_0^1 x \cdot \frac{(1-x)^3}{6} dx \\ &= \sqrt{3} \int_0^1 (x - 3x^2 + 3x^3 - x^4) dx = \frac{\sqrt{3}}{120}.\end{aligned}$$

作业 1 偶数, 4, 5, 6 奇数, 8, 9

7.5 数量值函数积分应用举例

本节我们将把定积分应用中的元素法推广到重积分的应用中, 利用重积分的元素法来讨论重积分在几何、物理上的一些其他应用.

对几何形体 Ω 来说, Ω 上的可加量 Q 的微元的一般形式为 $f(M)d\Omega$, 即

$$dQ = f(M)d\Omega, \quad M \in d\Omega,$$

其中 $d\Omega$ 为 Ω 的任一子量, $f(M)$ 为 Ω 上的连续函数, 而且 $\Delta Q - f(M)d\Omega$ 是当 $d \rightarrow 0$ 时

的无穷小. 找到微元后 $dQ = f(M)d\Omega$ 以后, 对 $f(M)$ 在 Ω 上积分即得 Q , 也即

$$Q = \int_{\Omega} f(M)d\Omega$$

7.5.1 几何问题举例

例 1 假设在某海湾中有个小岛, 其陆地高度为 $z = 30\left(1 - \frac{x^2 + y^2}{10^6}\right)$ (单位: m), 水

平面 $z = 0$ 对应于低潮的位置, $z = 2$ 为高潮位置. 求高潮与低潮时海岛露出水面得面积之比.

解 本题为求曲面面积的问题, 设低潮时海岛与水平面的截平面区域为 D_0 , 设高潮时

海岛与水平面的截平面区域为 D_2 . 设 $z = 0$, 从而 $0 = 30\left(1 - \frac{x^2 + y^2}{10^6}\right)$.

由此得 $D_0 : x^2 + y^2 \leq 10^6$.

令 $z = 2$, 即 $2 = 30\left(1 - \frac{x^2 + y^2}{10^6}\right)$

由此得 $D_2 : x^2 + y^2 \leq 10^6\left(1 - \frac{1}{15}\right) = 10^6 \cdot \frac{14}{15}$.

经计算

$$\sqrt{1 + \left(\frac{\partial z}{\partial x}\right)^2 + \left(\frac{\partial z}{\partial y}\right)^2} = \sqrt{1 + \frac{36(x^2 + y^2)}{10^{10}}}.$$

利用极坐标计算, 低潮时海岛的表面积

$$S_0 = \iint_{D_0} \sqrt{1 + \frac{36(x^2 + y^2)}{10^{10}}} dx dy = \int_0^{2\pi} d\theta \int_0^{10^3} \sqrt{1 + \frac{36r^2}{10^{10}}} r dr$$

$$\begin{aligned}
&= 2\pi \frac{10^{10}}{72} \int_0^{10^3} \left(1 + \frac{36r^2}{10^{10}}\right)^{\frac{1}{2}} d\left(1 + \frac{36r^2}{10^{10}}\right) \\
&= \frac{10^{10}}{36} \pi \cdot \frac{2}{3} \left(1 + \frac{36r^2}{10^{10}}\right)^{\frac{3}{2}} \bigg|_0^{10^3} \\
&= \frac{10^{10}}{54} \pi \cdot 5404.857.
\end{aligned}$$

同样可求得，高潮时海岛得表面积 $S_2 \approx \frac{10^4}{54} \pi \cdot 5044.2313$.

面积之比为 $\frac{S_2}{S_1} = 0.9333$.

7.5.2 质心与转动惯量

设在 xOy 平面上有 n 个质点，它们分别位于点 $(x_1, y_1), (x_2, y_2), \dots, (x_n, y_n)$ 处，质量分别为 m_1, m_2, \dots, m_n 。由力学知道，该质点系得质心的坐标为

$$\bar{x} = \frac{M_y}{M} = \frac{\sum_{i=1}^n m_i x_i}{\sum_{i=1}^n m_i}, \bar{y} = \frac{M_x}{M} = \frac{\sum_{i=1}^n m_i y_i}{\sum_{i=1}^n m_i},$$

其中 $M = \sum_{i=1}^n m_i$ 为该质点系的总质量，

$$M_y = \sum_{i=1}^n m_i x_i, \quad M_x = \sum_{i=1}^n m_i y_i$$

分别为该质点系对 y 轴和 x 轴的静矩。

设有一平面薄片，占有 xOy 面上闭区域 D ，在点 (x, y) 处的面密度 $\mu(x, y)$ ，假定 $\mu(x, y)$ 在 D 上连续，现在要找该薄片的质心的坐标。

取 D 上的小闭区域 $d\sigma$ ，则质量元素为 $\mu(x, y) d\sigma$ ，从而微力矩 dM_y 及 dM_x ：

$$dM_y = x \mu(x, y) d\sigma, \quad dM_x = y \mu(x, y) d\sigma$$

从而在区域 D 上积分，便得薄片的力矩

$$M_y = \iint_D x \mu(x, y) d\sigma, \quad M_x = \iint_D y \mu(x, y) d\sigma$$

由第一节知道，薄片得质量为 $M = \iint_D \mu(x, y) d\sigma$.

所以薄片得质心为，薄片的质心坐标为

$$\bar{x} = \frac{M_y}{M} = \frac{\iint_D x\mu(x,y)d\sigma}{\iint_D \mu(x,y)d\sigma}, \quad \bar{y} = \frac{M_x}{M} = \frac{\iint_D y\mu(x,y)d\sigma}{\iint_D \mu(x,y)d\sigma}$$

如果薄片是均匀的, 即面密度为常量, 则薄片的质心为

$$\bar{x} = \frac{1}{A} \iint_D x d\sigma, \quad \bar{y} = \frac{1}{A} \iint_D y d\sigma,$$

其中 $A = \iint_D d\sigma$ 为闭区域 D 的面积. 这时薄片的质心完全

由闭区域 D 的形状所决定. 称均匀平面薄片的质心叫做这平面薄片所占的平面图形的形心. 因此, 平面图形 D 的形心的坐标, 就可用公式 (1) 计算.

例 2 求位于两圆 $\rho = 2\sin\theta$ 和 $\rho = 4\sin\theta$ 之间得均匀薄片得质心

解 因为闭区域 D 对称于 y 轴, 所以质心 $C(\bar{x}, \bar{y})$ 必

位于 y 轴上, 于是 $\bar{x} = 0$ 。

在按公式

$$\bar{y} = \frac{1}{A} \iint_D y d\sigma$$

这时 D 得面积等于 3π , 这时

$$\begin{aligned} \iint_D y d\sigma &= \iint_D \rho^2 \sin\theta d\rho d\theta = \int_0^\pi \sin\theta d\theta \int_{2\sin\theta}^{4\sin\theta} \rho^2 d\rho \\ &= \frac{56}{3} \int_0^\pi \sin^4\theta d\theta = 7\pi. \end{aligned}$$

因此 $\bar{y} = \frac{7\pi}{3\pi} = \frac{7}{3}$, 所求质心为 $C(0, \frac{7}{3})$.

类似地, 占有空间有界闭区域 Ω 、在点 (x, y, z) 处得密度为 $\rho(x, y, z)$ (假定 $\rho(x, y, z)$ 在 Ω 上连续) 的物体的质心坐标是

$$\bar{x} = \frac{1}{M} \iiint_\Omega x\rho(x, y, z)dv, \quad \bar{y} = \frac{1}{M} \iiint_\Omega y\rho(x, y, z)dv, \quad \bar{z} = \frac{1}{M} \iiint_\Omega z\rho(x, y, z)dv$$

其中 $M = \iiint_\Omega \rho(x, y, z)dv$

例 3 求均匀半球体的质心

解: 取半球体的对称轴为 z 轴, 原点取在球心上, 又设求半径为 a , 则半球体所占空间闭区域

$$\Omega = \{(x, y, z) \mid x^2 + y^2 + z^2 \leq a^2, z \geq 0\}.$$

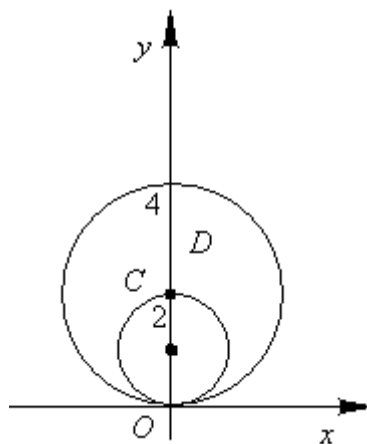


图 7-28

显然, 质心在 z 轴上, 故 $\bar{x} = \bar{y} = 0$.

$$\bar{z} = \frac{1}{M} \iiint_{\Omega} z \rho dv = \frac{1}{V} \iiint_{\Omega} z dv$$

其中 $V = \frac{2}{3}\pi a^3$ 为半球体的体积

$$\begin{aligned} \iiint_{\Omega} z dv &= \iiint_{\Omega} r \cos \varphi \cdot r^2 \sin \varphi dr d\varphi d\theta = \int_0^{2\pi} d\theta \int_0^{\frac{\pi}{2}} \cos \varphi \sin \varphi d\varphi \int_0^a r^3 dr \\ &= 2\pi \cdot \left[\frac{\sin^2 \varphi}{2} \right]_0^{\frac{\pi}{2}} \cdot \frac{a^4}{4} = \frac{\pi a^4}{4}. \end{aligned}$$

假设质量为 m 的质点 M 绕定轴 l 旋转, M 到 l 的距离为 r , 力学上称 $I = mr^2$ 为质点 M 对 l 的转动惯量.

设在 xOy 平面上有 n 个质点, 它们分别位于点 $(x_1, y_1), (x_2, y_2), \dots, (x_n, y_n)$ 处, 质量分别为 m_1, m_2, \dots, m_n . 由力学知道, 该质点系对于 x 轴以及 y 轴的转动惯量依次为

$$I_x = \sum_{i=1}^n y_i^2 m_i; I_y = \sum_{i=1}^n x_i^2 m_i.$$

设有一薄片, 占有 xOy 面上的闭区域 D , 在点 (x, y) 处的面密度为 $\mu(x, y)$, 假定 $\mu(x, y)$ 在 D 上连续, 则利用元素法, 可得该薄片对 x 轴及 y 轴的转动惯量为

$$I_x = \iint_D y^2 \mu(x, y) d\sigma, \quad I_y = \iint_D x^2 \mu(x, y) d\sigma$$

例 4 求半径为 a 的均匀半圆薄片 (面密度为常量 μ) 对于其直径边的转动惯量.

解 取坐标系如图 7-29 所示, 则薄片所占闭区域

$$D = \{(x, y) \mid x^2 + y^2 \leq a^2, y \geq 0\},$$

而所求转动惯量即半圆薄片对于 x 轴的转动惯量 I_x .

$$\begin{aligned} I_x &= \iint_D \mu y^2 d\sigma = \mu \iint_D \rho^3 \sin^2 \theta d\rho d\theta \\ &= \mu \int_0^{\pi} d\theta \int_0^a \rho^3 \sin^2 \theta d\rho \\ &= \mu \cdot \frac{a^4}{4} \int_0^{\pi} \sin^2 \theta d\theta \\ &= \frac{1}{4} \mu a^4 \cdot \frac{\pi}{2} = \frac{1}{4} M a^2, \end{aligned}$$

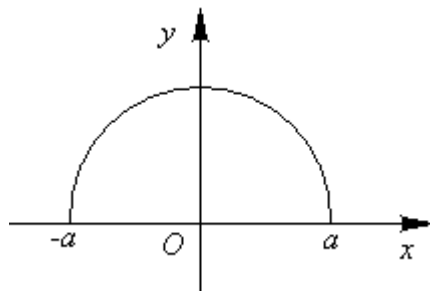


图 7-29

其中 $M = \frac{1}{2}\pi a^2 \mu$ 为半圆薄片的质量.

类似地, 占有空间有界闭区域 Ω 、在点 (x, y, z) 处的密度为 $\rho(x, y, z)$ (假定 $\rho(x, y, z)$

在 Ω 上连续) 的物体对于 x 、 y 、 z 轴的转动惯量为

$$I_x = \iiint_{\Omega} (y^2 + z^2) \rho(x, y, z) dv,$$

$$I_y = \iiint_{\Omega} (z^2 + x^2) \rho(x, y, z) dv$$

$$I_z = \iiint_{\Omega} (x^2 + y^2) \rho(x, y, z) dv$$

例 5 求密度为 ρ 的均匀球体对于过球心的一条轴 l 的转动惯量.

解 取球心为坐标原点, z 轴与轴 l 重合, 又设球的半径为 a , 则球体所占空间闭区域

$$\Omega = \{(x, y, z) \mid x^2 + y^2 + z^2 \leq a^2\},$$

所求转动惯量即球体对于 z 轴的转动惯量为

$$\begin{aligned} I_z &= \iiint_{\Omega} (x^2 + y^2) \rho dv \\ &= \rho \iiint_{\Omega} (r^2 \sin^2 \varphi \cos^2 \theta + r^2 \sin^2 \varphi \sin^2 \theta) r^2 \sin \varphi dr d\varphi d\theta \\ &= \rho \iiint_{\Omega} r^4 \sin^3 \varphi dr d\varphi d\theta = \rho \int_0^{2\pi} d\theta \int_0^{\pi} \sin^3 \varphi d\varphi \int_0^a r^4 dr \\ &= \rho \cdot 2\pi \cdot \frac{a^5}{5} \int_0^{\pi} (\cos^2 \varphi - 1) d(\cos \varphi) \\ &= \frac{2}{5} \pi a^5 \rho \cdot \frac{4}{3} = \frac{2}{5} a^2 M, \end{aligned}$$

其中 $M = \frac{4}{3}\pi a^3 \rho$ 为球体的质量.

类似地, 对线积分也有相应的公式.

例 6 计算半径为 R 、中心角为 2α 的圆弧 L 对于它的对称轴的转动惯量 I (设线密度 $\mu = 1$).

解

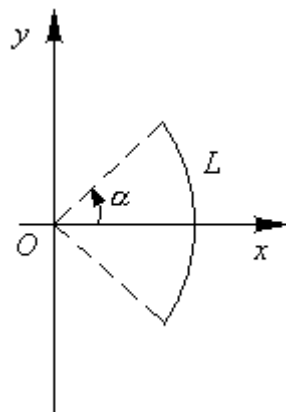
取坐标系如图 10-3, 则

$$I = \int_L y^2 ds$$

为了便于计算, 利用 L 的参数方程

$$x = R \cos \theta, y = R \sin \theta \quad (-\alpha \leq \theta \leq \alpha).$$

于是



$$\begin{aligned}
I &= \int_L y^2 ds = \int_{-\alpha}^{\alpha} R^2 \sin^2 \theta \sqrt{(-R \sin \theta)^2 + (R \cos \theta)^2} d\theta \\
&= R^3 \int_{-\alpha}^{\alpha} \sin^2 \theta d\theta = \frac{R^3}{2} \left[\theta - \frac{\sin 2\theta}{2} \right]_{-\alpha}^{\alpha} \\
&= \frac{R^3}{2} (2\alpha - \sin 2\alpha) = R^3 (\alpha - \sin \alpha \cos \alpha).
\end{aligned}$$

7. 5. 3 引力

设物体占有空间有界闭区域 Ω ，它在点 (x, y, z) 处的密度为 $\rho(x, y, z)$ ，并假定

$\rho(x, y, z)$ 在 Ω 上连续. 在物体任取一直径很小的闭区域 dv (这闭区域的体积也记作 dv)，

(x, y, z) 为这一小块中的一点. 把这一小块物体的质量 ρdv 近似地看作集中在点 (x, y, z) 处.

于是按两质点间的引力公式，可得在这一小块物体对位于 $P_0(x_0, y_0, z_0)$ 处的单位质量的质点的引力近似地为

$$dF = (dF_x, dF_y, dF_z)$$

$$\left(G \frac{\rho(x, y, z)(x - x_0)}{r^3} dv, G \frac{\rho(x, y, z)(y - y_0)}{r^3} dv, G \frac{\rho(x, y, z)(z - z_0)}{r^3} dv \right),$$

其中 dF_x, dF_y, dF_z 为引力元素 dF 在三个坐标轴上的分量，

$r = \sqrt{(x - x_0)^2 + (y - y_0)^2 + (z - z_0)^2}$ ， G 为引力常数，将 dF_x, dF_y, dF_z 在 Ω 上分别积分，即得

$$\begin{aligned}
F &= (F_x, F_y, F_z) \\
&= \left(\iiint_{\Omega} \frac{G\rho(x, y, z)(x - x_0)}{r^3} dv, \iiint_{\Omega} \frac{G\rho(x, y, z)(y - y_0)}{r^3} dv, \iiint_{\Omega} \frac{G\rho(x, y, z)(z - z_0)}{r^3} dv \right).
\end{aligned}$$

另外，平面薄片对薄片外一点的单位质量的引力，也可以类似地得到，只要改成对 x, y 的二重积分就行了.

例 7 设半径为 R 的均质球占有空间闭区域 $\Omega = \{(x, y, z) | x^2 + y^2 + z^2 \leq R^2\}$. 求它对位于 $M_0(0, 0, a)$ ($a > R$) 处的单位质量的质点的引力.

解 设球的密度为 ρ_0 ，由球体的对称性及质量分布的均匀性知 $F_x = F_y = 0$ ，所求引力沿 z 轴的分量为

$$F_z = \iiint_{\Omega} G\rho_0 \frac{z - a}{[x^2 + y^2 + (z - a)^2]^{\frac{3}{2}}} dv$$

$$\begin{aligned}
&= G\rho_0 \int_{-R}^R (z-a)dz \iint_{x^2+y^2 \leq R^2-z^2} \frac{dxdy}{[x^2+y^2+(z-a)^2]^{\frac{3}{2}}} \\
&= G\rho_0 \int_{-R}^R (z-a)dz \int_0^{2\pi} d\theta \int_0^{\sqrt{R^2-z^2}} \frac{\rho d\rho}{[\rho^2+(z-a)^2]^{\frac{3}{2}}} \\
&= 2\pi G\rho_0 \int_{-R}^R (z-a) \left(\frac{1}{a-z} - \frac{1}{\sqrt{R^2-2az+a^2}} \right) dz \\
&= 2\pi G\rho_0 \left[-2R + \frac{1}{a} \int_{-R}^R (z-a) d\sqrt{R^2-2az+a^2} \right] \\
&= 2\pi G\rho_0 \left(-2R + 2R - \frac{2R^3}{3a^2} \right) \\
&= -G \cdot \frac{4\pi R^3}{3} \rho_0 \cdot \frac{1}{a^2} = -G \frac{M}{a^2},
\end{aligned}$$

其中 $M = \frac{4\pi R^3}{3} \rho_0$ 为球的质量. 上述结果表明: 均质球对球外一质点的引力如同球的质量集

中于球心时两质点间的引力.

作业 2, , 5, 7, 9, 10, 11